



REBOUND 1940

Library of the Museum  
OF  
COMPARATIVE ZOOLOGY,

AT HARVARD COLLEGE, CAMBRIDGE, MASS.

Founded by private subscription, in 1861.

Deposited by ALEX. AGASSIZ.

No. 2357









ATLAS

<sup>1</sup> <sup>2</sup> <sup>3</sup>  
Quenstedt, Echinodermen. 3

~~92~~ Heft.





Bd 3  
**A T L A S**

ZU DEN

**E C H I N I D E N**

VON

**FRIEDRICH AUGUST QUENSTEDT,**  
PROFESSOR DER GEOLOGIE UND MINERALOGIE IN TÜBINGEN.

3

---

**LEIPZIG,**  
FUES'S VERLAG (R. REISLAND).  
Sm 1874.







## Erklärung tab. 62.

- Fig. 1 Cidaris elegans pag. 41, weisser Jura  $\epsilon$ , Nollhaus,  $x$  vergrössert.  
 — 2 desgleichen pag. 41, daher, krankes Ambulacrum,  $x$  vergrössert.  
 — 3 desgleichen pag. 42, daher, mit Eiertafeln.  
 — 4 desgleichen pag. 42, weisser Jura  $\epsilon$ , Niederstotzingen mit Afterscheibe;  $x$  abgewickelt und doppelt vergrössert.  
 — 5—11 desgleichen pag. 42, Nollhaus, Stacheln.  
 — 12 C. elegans var. pag. 43, daher.  
 — 13. 14 desgleichen pag. 44, daher, jung.  
 — 15 C. cf. elegans pag. 44, Steinweiler, weisser Jura  $\epsilon$ .  
 — 16 C. elegans pag. 44, Coralrag, Bayreuth.  
 — 17 desgleichen pag. 44, Oberfellendorf.  
 — 18 desgleichen pag. 44, weisser Jura  $\epsilon$ , Oerlinger Thal.  
 — 19 C. cf. elegans pag. 45, daher;  $x$  vergrösserte Mundplatten.  
 — 20—24 C. propinquus pag. 46, weisser Jura  $\alpha$ , Böllert.  
 — 25—27 C. cf. propinquus pag. 47, daher, 26 vergrössert.  
 — 28 C. quadritesselatus pag. 47, weisser Jura  $\epsilon$ , Nattheim.  
 — 29 desgleichen pag. 47, weisser Jura  $\epsilon$ , Nollhaus.  
 — 30 C. coronatus  $\gamma$  pag. 58, weisser Jura  $\gamma$ , Spaichingen.  
 — 31 C. coronatus pag. 58, verkieselt, Franken.  
 — 32 desgleichen pag. 53, weisser Jura  $\gamma$ , Hossingen.  
 — 33—44 C. coronatus pag. 50, Stacheln.  
 — 45 desgleichen pag. 50, von einer Blindassel.  
 — 46—58 desgleichen pag. 50, verschiedene kleine Stacheln.  
 — 59 desgleichen pag. 51, kranke Assel, Böllert.  
 — 60 desgleichen pag. 51, Böllert, oberste Assel von innen  $a$  und aussen  $b$ .  
 — 61 C. cf. coronatus pag. 52, daher.  
 — 62 C. cf. marginatus pag. 52, daher.  
 — 63 C. coronatus  $\gamma$  pag. 52, Böllert,  $a$  Ohr von innen.  
 — 64 C. moniliferus pag. 52, daher.  
 — 65 Cidaris pag. 52, verkümmertes Ohr von innen, Böllert.  
 — 66—72 Cidaris pag. 52, Genitalplatten, weisser Jura  $\alpha$ , Böllert.  
 — 73 Cidaris pag. 53, Augenplatte, daher.  
 — 74. 75 Cidaris pag. 53, Balken, Böllert, secunda species.  
 — 76. 77 Cidaris pag. 54, Balken, Böllert, prima species;  $y$  vergrössertes Inuenende.  
 — 78 Cidaris pag. 54, Gabelstück des Halbzirkelförmigen Knochens, Böllert.  
 — 79 Echinus esculentus pag. 55, Venedig, Bügelstücke von der Seite.  
 — 80 Cidaris pag. 55, Zahn, weisser Jura  $\alpha$ , Ulm; I spec.  
 — 81 Cidaride pag. 55, Zahn, weisser Jura  $\alpha$ , Böllert; II spec.  
 — 82 Echinus esculentus pag. 55, Zahn.  
 — 83 Cidaride pag. 55, Kinnlade, Gosbacher Steige; II spec.  
 — 84 desgleichen pag. 55, Ergänzungsstück, Böllert; II spec.  
 — 85 desgleichen pag. 56, Kinnlade, daher, Oberende aussen; II spec.  
 — 86 desgleichen pag. 56, daher, Querschnitt.  
 — 87—91 desgleichen pag. 56, daher, Kiefer, II spec.  
 — 92—95 Cidaris pag. 56, daher, Kiefer, I spec.  
 — 96 C. pag. 56, daher, Ergänzungsstück, I spec.  
 — 97 C. pag. 57, daher, Balken- Ergänzungsstück- Kinnlade von oben.  
 — 98 C. pag. 57, Lochen, prima altera.  
 — 99 Echinus esculentus pag. 57, Venedig, Kinnlade.  
 — 100 Cidaris coronatus  $\gamma$  pag. 57, Mundhaut,  $x$  vergrössert.  
 — 101 C. coronatus pag. 59, Bohmerz, Veringendorf.  
 — 102 desgleichen pag. 59, daher, abgeriebener Stachel.  
 — 103 C. moniliferus pag. 59, weisser Jura  $\epsilon$ , Nattheim,  $a$  Nollhaus.  
 — 104. 105 desgleichen pag. 60, weisser Jura  $\epsilon$ , Nattheim.  
 — 106—111 desgleichen pag. 60, Oerlinger Thal.  
 — 112—114 C. moniliferus pag. 60, Eiertafeln, Ulm.  
 — 115 desgleichen pag. 60, Augentafel, daher.  
 — 116—118 desgleichen pag. 60, Missbildungen von Asseln.  
 — 119 C. coronatus pag. 61, krank, weisser Jura  $\delta$ , Thiergarten.  
 — 120. 121 C. cf. coronostriatus pag. 61, weisser Jura  $\epsilon$ , Ulm, Keilstacheln.  
 — 122 Cidaris moniliferus pag. 61, weisser Jura  $\epsilon$ , Niederstotzingen.

## Erklärung tab. 63.

- Fig. 1 Cidaris tuberculatus pag. 62, weisser Jura  $\epsilon$ , Kienlesberg.  
 — 2 Cidaris perlatus pag. 63, weisser Jura  $\epsilon$ , Nattheim;  $x$  vergrößert.  
 — 3—6 Cidaris cf. perlatus pag. 65, daher.  
 — 7 Cidaris perlatus pag. 63, Oolith  $\epsilon$ , Schnaitheim.  
 — 8 desgleichen pag. 64, daher,  $a$  halbes Ohr von Innen.  
 — 9—14 desgleichen pag. 63, daher, Stacheln.  
 — 15 desgleichen pag. 64, Nattheim, Brut.  
 — 16. 17 desgleichen pag. 64, Oolith  $\epsilon$ , Schnaitheim.  
 — 18 desgleichen pag. 65, daher, Eiertafel.  
 — 19—24 Cidaris Xscriptus pag. 65, weisser Jura  $\epsilon$ , Oerlinger Thal, Eiertafeln.  
 — 25—29 Cidaris curvatus pag. 65, desgleichen, daher.  
 — 30 Cidaris corono-laevis pag. 66, desgleichen, daher.  
 — 31—33 C. corono-punctus pag. 66, weisser Jura  $\epsilon$ , Ulm.  
 — 34. 35 C. corono-strictus pag. 66, weisser Jura  $\epsilon$ , Nattheim.  
 — 36. 37 C. corono-pusula pag. 67, weisser Jura  $\epsilon$ , Nattheim.  
 — 38. 39 C. corono-mamma pag. 67, daher.  
 — 40 C. corono-filum pag. 67, daher.  
 — 41 C. elegans nodus pag. 43, daher.  
 — 42 C. elegans punctus pag. 43, daher.  
 — 43 C. elegans turba pag. 43, daher.  
 — 44 C. marginatus pag. 69, weisser Jura  $\epsilon$ , Nattheim;  $b$  innere Ohren,  $c$  Eiertafel,  $x$  Am-  
 bulacren vergrößert.  
 — 45—54 desgleichen pag. 68, Stacheln, daher.  
 — 55 C. marginatus globosus pag. 70, daher.  
 — 56 C. marginatus elegans pag. 70, daher.  
 — 56.  $a. b$  C. coronatus pag. 70, daher, jung.  
 — 57 Cidaris Blumenbachii pag. 71, weisser Jura  $\epsilon$ , Nollhaus.  
 — 58 desgleichen pag. 72, daher.  
 — 59 C. Blumenbachii Danubicus pag. 72, Ulm, weisser Jura  $\epsilon$ .  
 — 60 Cidaris Suevicus pag. 73, Bopfingen, mittlerer weisser Jura.  
 — 61 Cidaris Suevicus pag. 74, weisser Jura  $\gamma$ , Salmendingen.  
 — 62—67 Cidaris histricoides pag. 75, weisser Jura  $\epsilon$ , Nollhaus.  
 — 68 C. histricoides perplexus pag. 76, daher.  
 — 69—71 Cidaris spinosus  $\epsilon$  pag. 76, Nollhaus, weisser Jura  $\epsilon$ .  
 — 72 C. spinosus  $\alpha$  pag. 76, Lochen, weisser Jura  $\alpha$ .  
 — 73. 74 desgleichen pag. 76, Böllert, weisser Jura  $\alpha$ .  
 — 75 C. rarefactus pag. 77, Lochen, weisser Jura  $\alpha$ .  
 — 76—82 C. subhisticoides pag. 77, Böllert, weisser Jura  $\alpha$ .  
 — 83 Cidaris cf. Blumenbachii pag. 77, Böllert, weisser Jura  $\alpha$ .  
 — 84 C. Suevicus pag. 77, daher.  
 — 85—88 Cidaris florigemma pag. 79, Terrain à Chailles, Kl. Lützel.  
 — 89 desgleichen pag. 80, Körper, daher.  
 — 90 Cidaris cf. florigemma pag. 81, Sirchingen, weisser Jura  $\epsilon$ .  
 — 91—94 Cidaris florigemma pag. 80, Oxfordthou, Vaches noires.









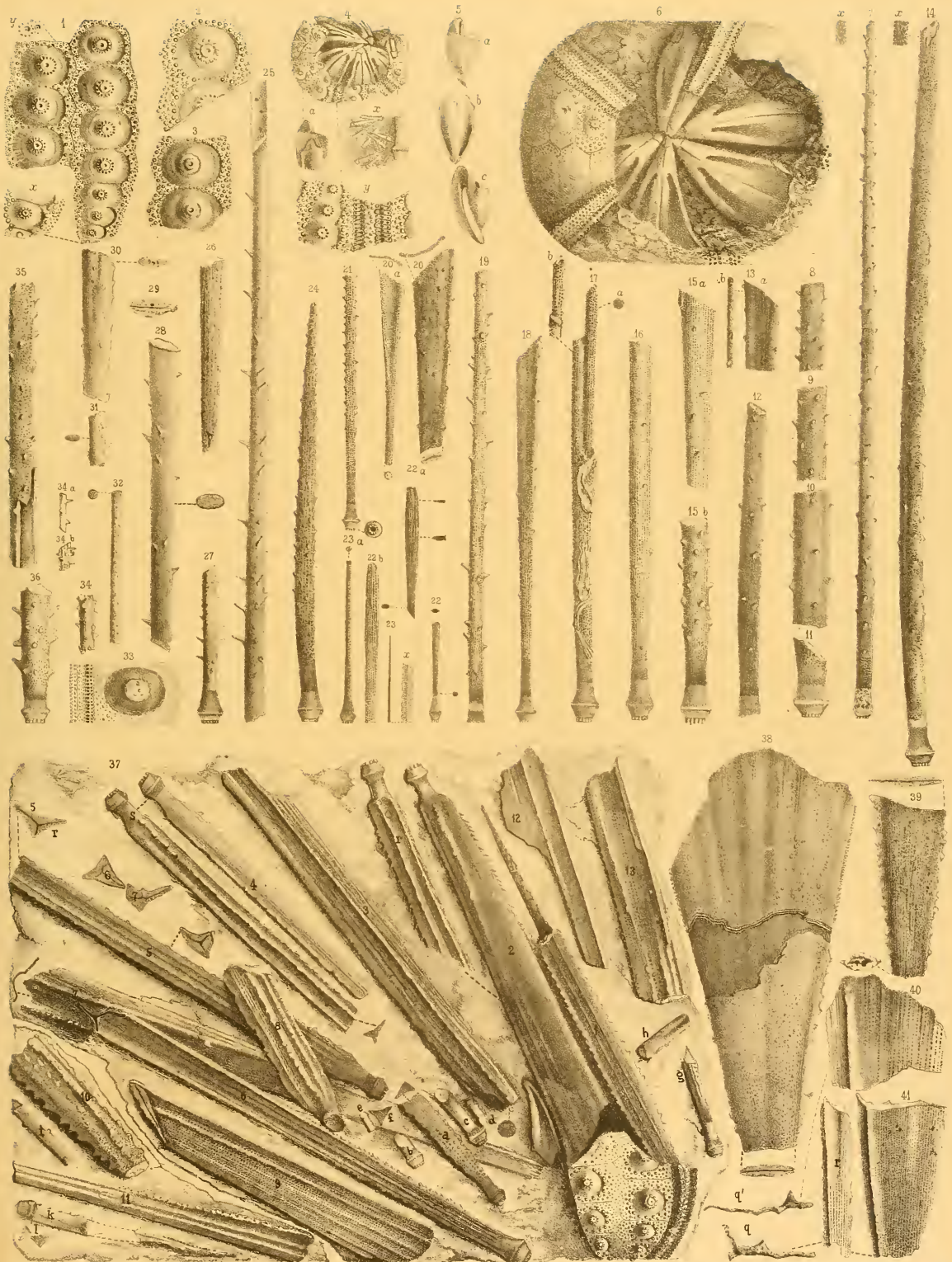


## Erklärung tab. 64.

- Fig. 1—3 *Cidaris filigranus* pag. 81, Böllert, weisser Jura z.  
 — 4 desgleichen pag. 82, daher, verdrückt; *x* vergrößert.  
 — 5 desgleichen pag. 81, daher, zwischen den dunkeln Würzchen Schlamms.  
 — 6 desgleichen pag. 82, unterster weisser Jura z, Birmensdorf.  
 — 7 desgleichen pag. 82, Böllert, von einer Blindassel; *x* vergrößerte Gelenkfläche.  
 — 8 desgleichen pag. 82, Böllert: *a* Hinter-, *b* Vorder-, *c* Oberseite.  
 — 9 desgleichen pag. 83, daher, dickster; *x* vergrößert.  
 — 10. 11 desgleichen pag. 82, daher.  
 — 12. 13 *Cidaris cylindrogranus* pag. 83, weisser Jura z, Böllert; *x y* vergrößert.  
 — 14. 15 desgleichen pag. 83, daher, ohne Gelenkkopf.  
 — 16—19 desgleichen pag. 83, daher.  
 — 20 *Cidaris cf. cylindrogranus* pag. 83, weisser Jura  $\gamma$ , Weissenstein; *x* vergrößerte kranke Gelenkfläche.  
 — 21—24 *Cidaris cylindricus* pag. 84, weisser Jura z, Lochen; *x* vergrößert.  
 — 25 *Cidaris mitratus* pag. 85, weisser Jura z, Nattheim, von oben.  
 — 26 desgleichen pag. 85, daher, *a* und *b* verschiedene Seiten.  
 — 27. 28 desgleichen pag. 85, daher, geknotete Abänderungen.  
 — 29. *a* *Cidaris vallatus* pag. 86, weisser Jura  $\gamma$ , Weissenstein.  
 — 29 desgleichen pag. 86, Bosler.  
 — 30 *Cidaris cf. laeviusculus* pag. 87, weisser Jura  $\beta \gamma$ , Aalen.  
 — 31—33 *Cidaris laeviusculus* pag. 86, unterer weisser Jura z, Birmensdorf.  
 — 34—36 *Cidaris cf. laeviusculus* pag. 87, weisser Jura z, Nollhaus.  
 — 37 *Cidaris Blumenbachii* pag. 88, weisser Jura z, Nollhaus.  
 — 38 *Cidaris nobilis* var. I pag. 89, weisser Jura z, Lauffen: *a* vom After-, *b* vom Mundkreise.  
 — 39 desgleichen pag. 89, Kieseldelta, Spaichingen, von der Afterseite.  
 — 40 desgleichen pag. 90, colonisirtes weisses  $\zeta$ , Nusplingen: *a* fünfte Assel am Afterrande; *x* vergrößertes Höckerchen.  
 — 41 desgleichen pag. 90, unterer weisser Jura, *a* vom Afterrande.  
 — 42 *C. nobilis* var. II pag. 90, Kieseldelta, Nusplingen: *a* After-, *b* Mundseite.  
 — 43 *C. nobilis* var. III pag. 91, weisser Jura: *a* Mundrand; *x y* vergrößert.  
 — 44 desgleichen pag. 92, colonisirtes z, krank: *a* Ohr auf der Innenseite; *x* vergrößerter Mundrand.  
 — 45 *Cidaris nobilis* pag. 94, weisser Jura z, Oerlinger Thal, Eiertafel.  
 — 46 *Cidaris cf. nobilis* pag. 94, weisser Jura z, Böllert; *x y* vergrößert, *a* Unterseite.  
 — 47. 48 desgleichen pag. 95, daher.  
 — 49 *Cidaris cf. nobilis* pag. 95, weisser Jura z, Ulm, Augentafel.  
 — 50. 51 Eiertafeln pag. 95, Oerlinger Thal, weisser Jura z.  
 — 52 *Cidaris nobilis* var. IV pag. 92, weisser Jura z, Nattheim; *a* Ohr.  
 — 53 *Cidaris nobilis* pag. 94, kranke Assel, weisser Jura z, Ulm.  
 — 54 *Cidaris maximus* pag. 94, weisser Jura  $\delta$ ; 8te Assel.  
 — 55 *Cidaris maximus* pag. 93, Kieseldelta, Muggendorf; *a* Ohr.

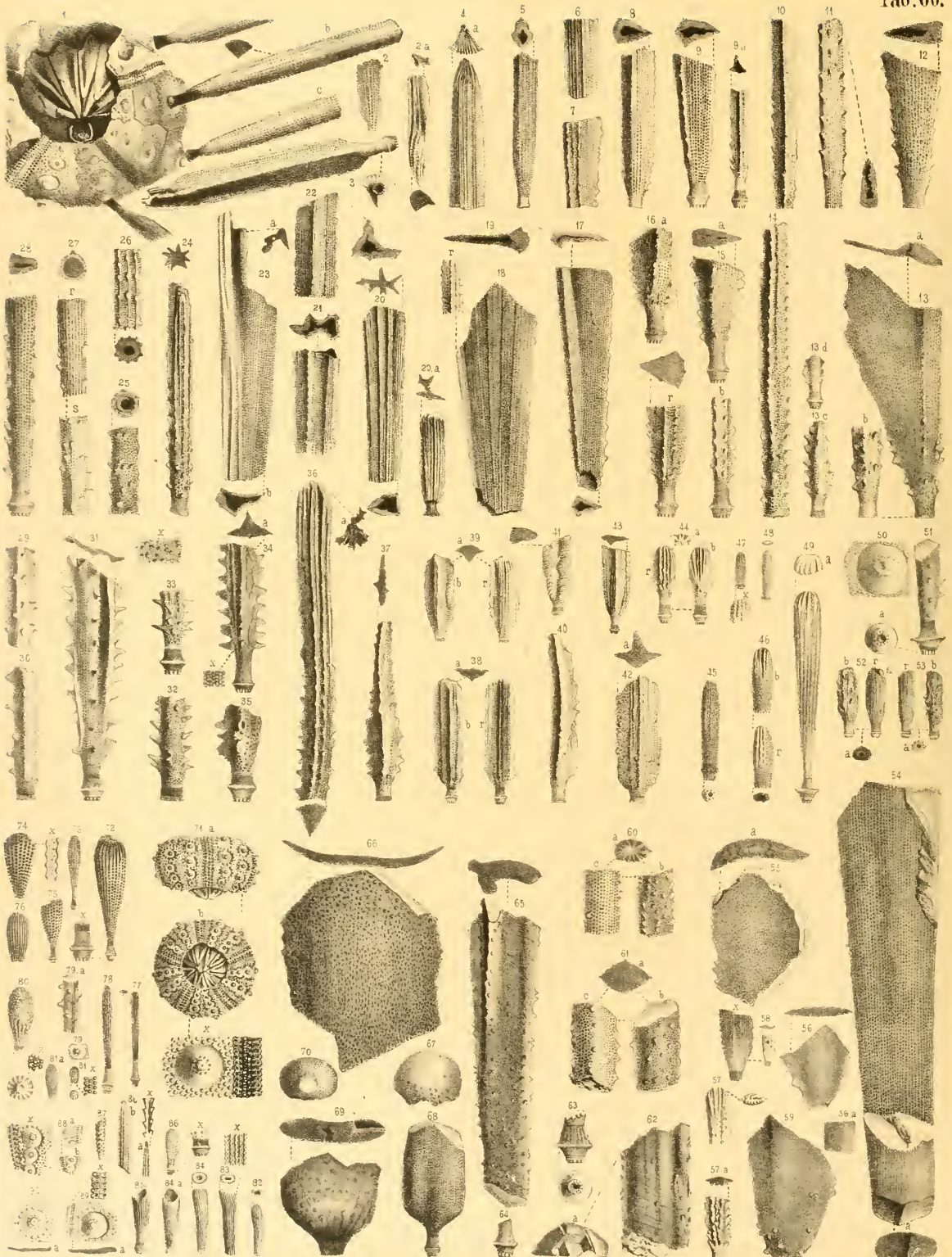
## Erklärung tab. 65.

- Fig. 1—3 Cidaris praenobilis pag. 96, brauner Jura  $\delta$ , Asseln.  
 — 4 Cidaris cf. praenobilis pag. 97, oberer brauner Jura, Pfullingen.  
 — 5 Kiefer von C. praenobilis pag. 97, brauner Jura  $\delta$ ;  $\varepsilon$  ein grösseres Stüek von der Innenseite.  
 — 6 Cidaris nobilis pag. 98, Beiningen, weisser Jura  $\varepsilon$ .  
 — 7—12 Cidaris praenobilis pag. 98, brauner Jura  $\delta$ , gestachelte Varietät.  
 — 13 desgleichen pag. 99, daher, comprimirt.  
 — 14 desgleichen pag. 99, daher, fängt an pustulös zu werden.  
 — 15. a. b desgleichen pag. 99, daher, dornig und pustulös.  
 — 16 desgleichen pag. 99, daher.  
 — 17 desgleichen pag. 99, daher, oben gegabelt, wie a und b zeigt.  
 — 18 desgleichen pag. 100, daher, geflügelt.  
 — 19 desgleichen pag. 100, daher, unten ohne Kopf.  
 — 20 desgleichen pag. 100, daher, Gammelshausen.  
 — 20. a desgleichen pag. 100, daher, ohne Dornen.  
 — 21 desgleichen pag. 100, daher.  
 — 22 C. cf. praenobilis pag. 100, daher.  
 — 22. a desgleichen pag. 100, daher, Gammelshausen.  
 — 22. b desgleichen pag. 101, daher, Beuren.  
 — 23 desgleichen pag. 100, daher, ganz dünn,  $x$  vergrössert.  
 — 23. a desgleichen pag. 100, daher, Gammelshausen, verwittert.  
 — 24 Cidaris praenobilis pag. 100, brauner Jura  $\delta$ , Achalm.  
 — 25 Cidaris nobilis pag. 101, weisser Jura  $\delta$ , Kapfenburg.  
 — 26 desgleichen pag. 102, daher, ungestachelt.  
 — 27. 28 desgleichen pag. 101, daher, langdornig.  
 — 29—31 desgleichen pag. 102, daher, glatt.  
 — 32 desgleichen pag. 102, daher, dünn und rund.  
 — 33 desgleichen pag. 101, daher, Assel.  
 — 34 Cidaris cf. nobilis pag. 102, weisser Jura  $\gamma$ , Hiltenburg.  
 — 34. a. b Cidaris spinosus pag. 102, weisser Jura  $\alpha$ , Lochen.  
 — 35 C. nobilis  $\varepsilon$  pag. 102, weisser Jura  $\varepsilon$ , Nattheim.  
 — 36 C. nobilis  $\varepsilon$  pag. 103, weisser Jura  $\varepsilon$ , Kehlheim.  
 — 37 C. nobilis trispinatus pag. 103, weisser Jura  $\varepsilon$ , Beiningen. Die Stacheln haben ihre ungefähre Lage beibehalten, nur behufs der Deutlichkeit wurde Einzelnes ein wenig verrückt. Die Ecke rechts unten mit Nro. 10. 11 *i k l* lag quer oben darauf. Nro. 1—13 sind gross, zum Theil stellte ich sie von verschiedenen Seiten nebst ihren Durchschnitten dar, was nicht irre leiten darf. Die kleinen sind mit *a—l* bezeichnet.  
 — 38 Cidaris velifer pag. 108, weisser Jura  $\zeta$ , Beiningen.  
 — 39 Cidaris bidentatus pag. 109, weisser Jura  $\varepsilon$ , Nattheim.  
 — 40. 41 Cidaris cf. trispinatus pag. 109, daher.









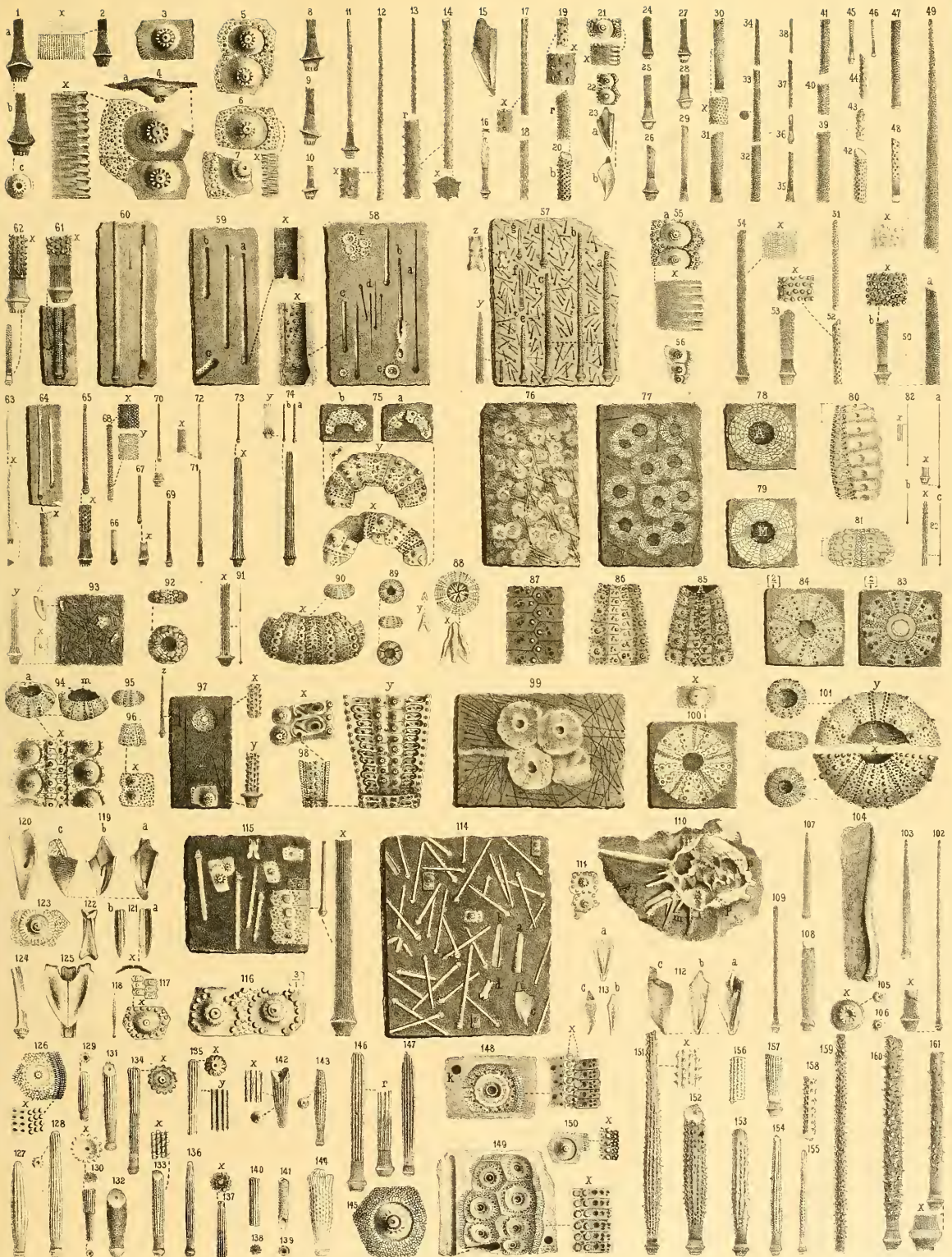


## Erklärung tab. 66.

- Fig. 1 Cidaris nobilis trilaterus pag. 109, weisser Jura  $\varepsilon$ , Nattheim.  
— 2 desgleichen pag. 110, daher, von der linken Seite dargestellt.  
— 2. a desgleichen pag. 110, weisser Jura  $\varepsilon \zeta$ , Rauschberg, verkrüppelt.  
— 3 desgleichen pag. 110, weisser Jura  $\varepsilon$ , Nattheim.  
— 4—6 desgleichen pag. 110, daher, Nattheim.  
— 7 Cidaris cf. trispinatus pag. 111, daher, Nattheim.  
— 8—11 C. trispinatus pag. 111, daher, Nattheim.  
— 12. 13 desgleichen pag. 111, daher, Nattheim.  
— 13. c. d desgleichen pag. 111, weisser Jura  $\varepsilon$ , Rauschberg.  
— 14—17 desgleichen pag. 112, weisser Jura  $\varepsilon$ , Nattheim.  
— 18. 19 Cidaris cf. trispinatus pag. 112, daher.  
— 20 C. nobilis plicatus pag. 113, daher.  
— 20. a desgleichen pag. 113, Rauschberg.  
— 21—23 desgleichen pag. 113, weisser Jura  $\varepsilon$ , Nattheim.  
— 24 C. cf. nobilis  $\varepsilon$  pag. 113, daher.  
— 25—28 C. nob. baculiferus pag. 114, daher.  
— 29. 30 C. nob. tricarinatus pag. 115, Oerlinger Thal, weisser Jura  $\varepsilon$ .  
— 31 desgleichen pag. 115, daher,  $x$  vergrösserte Fläche.  
— 32. 33 desgleichen pag. 116, daher.  
— 34. 35 C. nobilis triaculeatus pag. 116, daher.  
— 36 C. cf. Orbignyana pag. 117, daher.  
— 37 C. trispinatus pag. 117, daher.  
— 38—40 Cidarites tripterus pag. 118, daher.  
— 41 Cidaris cf. tripterus pag. 118, daher, verkrüppelt.  
— 42. 43 C. tripterus pag. 118, daher.  
— 44 C. flabellatus pag. 119, daher.  
— 45—47 desgleichen pag. 119, weisser Jura  $\varepsilon$ , Nattheim.  
— 48 Keilförmiger Cidaritenstachel pag. 119.  
— 49—51 Cidaris claviceps pag. 119, weisser Jura  $\zeta$ , Steinenfeld.  
— 52. 53 Cidaris dipictus pag. 120, weisser Jura  $\zeta$ , Nattheim.  
— 54 C. spatula pag. 120, weisser Jura  $\delta$ , Altenstadt.  
— 55 C. remus pag. 121, weisser Jura  $\alpha$ , Lochen.  
— 56 C. cf. bidentatus pag. 121, mittlerer weisser Jura, Afterthal.  
— 57 C. cf. remus pag. 122, weisser Jura  $\alpha$ , Böllert.  
— 58 C. cf. bidentatus pag. 121, daher.  
— 59 C. cf. bidentatus pag. 121, daher.  
— 60 C. Orbignyanus pag. 122, daher.  
— 61 C. cf. Orbignyanus pag. 122, mittlerer weisser Jura, Beuron.  
— 62 C. cf. Orbignyanus pag. 122, weisser Jura  $\alpha$ , Böllert.  
— 63. 64 desgleichen pag. 122, daher.  
— 65 Cidaris caprimontana pag. 123, mittlerer weisser Jura.  
— 66—70 C. copeoides pag. 123, brauner Jura  $\zeta$ , Solothurn.  
— 71 C. cf. Boucharдии pag. 125, brauner Jura.  
— 72—74 C. ornatus pag. 126, brauner Jura  $\zeta$ , Gammelshausen.  
— 75—76 desgleichen pag. 126, Macrocephalusschicht, Ehningen und Gutmadingen.  
— 77. 78 Cidaris cf. praenobilis pag. 127, Gammelshausen und Ehningen.  
— 79 C. praenobilis pag. 127, brauner Jura  $\gamma$ , Gingen, Sowerbybauk.  
— 80 C. ovispina pag. 128, daher.  
— 81. 81. a C. cf. Gingensis pag. 128, daher.  
— 82—85 C. Gingensis pag. 128, daher.  
— 86 C. cf. elegans pag. 128, daher.  
— 86. a. b C. cf. histricoides pag. 128, daher.  
— 87 C. Torulosi pag. 129, brauner Jura  $\alpha$ , Waldstetten.  
— 88 desgleichen pag. 129, daher, Schömberg.  
— 89 Cidaris cf. Blumenbachii pag. 130, weisser Jura  $\varepsilon \zeta$ , Rauschberg.  
— 90 C. cf. nobilis pag. 130, daher.
-

## Erklärung tab. 67.

- Fig. 1—4 *Cidaris amalthei* pag. 130, Lias  $\delta$ , Dörlbach.  
 — 5—7 desgleichen pag. 131, Lias  $\delta$ , Dürnan und Ofterdingen.  
 — 8—10 desgleichen pag. 132, Lias  $\delta$ , Plattenhardt.  
 — 11—14 *Cidaris amaltheoides* pag. 133, Lias  $\delta$ , Dürnan.  
 — 15 Laternenstück pag. 133, eines ächten *Cidaris*, daher.  
 — 16 *Cidaritenstachel* pag. 133, daher.  
 — 17 *Cidaris* pag. 133, Lias  $\delta$ , Dürnan.  
 — 18 *Cidaris* pag. 133, Lias  $\delta$ , Plattenhardt.  
 — 19. 20 *C. cf. amaltheoides* pag. 134, Lias  $\delta$ , Dörlbach.  
 — 21—23 *C. arietis* pag. 135, Lias  $\alpha$ , Eberbach.  
 — 24—29 desgleichen pag. 136, daher, glatte Stacheln.  
 — 30—48 desgleichen pag. 136, daher, rauhe Stacheln.  
 — 49 *Cidaris psilonoti* pag. 138, unterer Lias  $\alpha$ , Kreuz.  
 — 50 *C. psil. limatus* pag. 138, unterer Lias  $\alpha$ , Nellingen.  
 — 51 *C. psil. condylodes* pag. 139, unterer Lias  $\alpha$ , Degerloch.  
 — 52 *C. arietis* pag. 139, oberer Lias  $\alpha$ , Dusslingen.  
 — 53. 54 *C. ar. laevis* pag. 139, oberer Lias  $\alpha$ , Dusslingen.  
 — 55 *C. arietis* pag. 140, oberer Lias  $\alpha$ , Bebenhausen.  
 — 56 *C. cf. psilonoti* pag. 140, unterer Lias  $\alpha$ , Pfondorf.  
 — 57 *C. cf. psilonoti* pag. 140, unterer Lias  $\alpha$ , Schambelen.  
 — 58 *C. angulati* pag. 142, mittlerer Lias  $\alpha$ , Frickenhofen.  
 — 59 *C. ang. praemorsus* pag. 142, mittlerer Lias  $\alpha$ , Hüttlingen.  
 — 60 *C. Posidoniae* pag. 143, Lias  $\varepsilon$ , Pliensbach.  
 — 61 *C. cf. Jurensis* pag. 143, Lias  $\varepsilon$ , Holzmaden.  
 — 62—64 *C. Jurensis* pag. 144, Lias  $\varepsilon$ , Heiningen.  
 — 65 *C. Jurensis* pag. 144, Torulosuschicht, Boll.  
 — 66—72 *C. miserabilis* pag. 145, Lias  $\alpha$ , Göppingen.  
 — 73 *C. striospina* pag. 145, daher.  
 — 74 desgleichen pag. 146, brauner Jura  $\alpha$ , Teufelsloch.  
 — 75 *Cidaris cf. striospina* pag. 146, daher.  
 — 76—88 *C. olifex* pag. 148, oberer Lias  $\alpha$ , Dusslingen.  
 — 89—91 *C. minutus* pag. 152, Lias  $\beta$ , Fullbach etc.  
 — 92. 93 *Cidaris* pag. 153, Lias  $\gamma$ , Ohmenhausen.  
 — 94—97 *C. octocephs* pag. 153, Lias  $\delta$ , Hechingen, Sondelfingen.  
 — 98 *C. laqueatus* pag. 155, Lias  $\delta$ , Dürnan.  
 — 99. 100 *C. crimiferus* pag. 156, Lias  $\varepsilon$ , Pliensbach.  
 — 101 *C. granulatus* pag. 156, mittlerer brauner Jura, Baselland.  
 — 102—109 *C. grandaevus* pag. 158, Hauptmuschelkalk, Crailsheim etc. Stacheln.  
 — 110 desgleichen pag. 159, Hauptmuschelkalk, Kirchheim.  
 — 111 *Cidaris coaevus* pag. 160, daher, Jaxthal.  
 — 112. 113 *C. cf. grandaevus* pag. 160, Hauptmuschelkalk, Jaxthal.  
 — 114 desgleichen pag. 160, Hauptmuschelkalk, Bibersfeld.  
 — 115 *Cidaris cf. grandaevus* pag. 161, Wellendolomit, Schwarzwald.  
 — 116 *Palaechinus Verneuiliana* pag. 162, Zechsteindolomit, Humbleton Hill, Copie.  
 — 117. 118 *Cidaris Keyserlingi* pag. 162, Zechstein, Corbusen, Copie.  
 — 119—121 *C. Nerei* pag. 163, Bergkalk, Tournay.  
 — 122—124 desgleichen pag. 163, daher, Copie.  
 — 125 *Archaeocidaris Rossicus* pag. 164, Bergkalk, Russland, Copie.  
 — 126 *Cidaris vesiculosus* pag. 166, Essen, Copie.  
 — 127—142 desgleichen pag. 166, daher, Tourtia.  
 — 143 *Cidaris cf. vesiculosus* pag. 168, unterer Pläner, Plauen.  
 — 144 *C. cf. vesiculosus* pag. 168, daher, Copie.  
 — 145—147 *C. cf. gaultinus* pag. 168, Gault, Var.  
 — 148 *C. cf. vesiculosus* pag. 169, Feuerstein, Satow, Kreide.  
 — 149 *C. cf. subvesiculosus* pag. 169, Feuerstein, Bobberöhrsdorf, Kreide.  
 — 150 *C. vesiculosus* pag. 170, Kreide, Rügen.  
 — 151—155 *C. subvesiculosus* pag. 171, Kreide, Rügen.  
 — 156—158 *C. cf. vesiculosus* pag. 171, daher.  
 — 159—161 *C. cf. perornatus* pag. 172, daher.









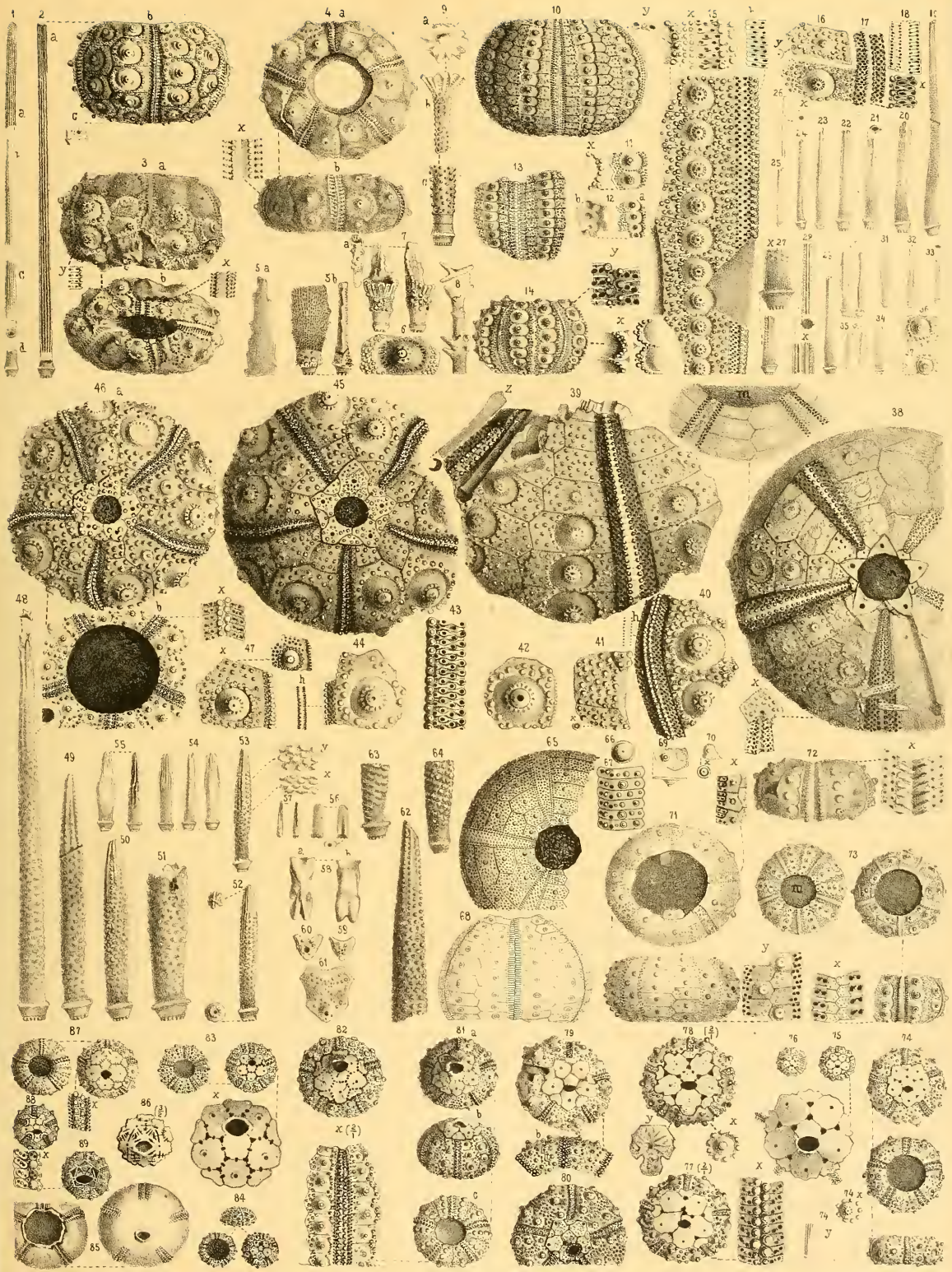
## Erklärung tab. 68.

- Fig. 1 Cidaris rimatus pag. 173, Abdruck auf Feuerstein, Kreideformation, Kröplin.  
— 2 Temnocidaris Baylei pag. 174, Sénonien, Copie nach Cotteau.  
— 3 Cidaris subvesiculosus pag. 175, White Chalk, Afterscheibe, Copie nach Wright.  
— 4 C. sceptrifera pag. 175, White Chalk, England.  
— 5—8 C. cf. cretosus pag. 176, Kreide, Rügen, Eiertafeln.  
— 9. 10 C. cf. vesiculosus pag. 176, daher.  
— 11. 12 C. Reussi pag. 177, Pläner, Neinstedt.  
— 13 Cidaris coronostriatus pag. 180, Weisser Jura ζ, Ringingen, Stuttgarter Museum. A After, M Mundseite.  
— 14—16 C. coronoglobus pag. 178, Essen, Tourtia.  
— 17—21 C. variabilis pag. 179, Hils, Achim.  
— 22. 23 desgleichen pag. 180, Hils, Elligser Brink.  
— 24—26 C. cf. Lardyi pag. 183, Hils, Elligser Brink.  
— 27. 28 C. muricatus pag. 184, Hils, Achim.  
— 29. 30 Rhabdocidaris cf. tuberosa pag. 184, Neocom, Provence.  
— 31—33 Cidaris pistillum pag. 184, weisse Kreide, Rügen.  
— 34—38 C. globiceps pag. 187, Grünsand, Essen.  
— 39—41 C. Sorigneti pag. 187, unterer Pläner, Plauen.  
— 42 C. margaritifera pag. 185, Chalk, Kent, Copie nach Sowerby.  
— 42. a desgleichen, Copie nach Wright.  
— 43. 44 C. claviger pag. 186, White Chalk, Kent.  
— 45 Cidaris pag. 186, Grobkalk, Damery.  
— 46—48 Radiolus glandarius claviphoenix pag. 188, Fundort unbekannt.  
— 49. 50 R. gland. clavimorus pag. 189, desgleichen.  
— 51 R. cf. glandarius pag. 190, desgleichen.  
— 52—56 R. glandarius pag. 190, 53 von Palestina.  
— 57—59 R. gland. authentica pag. 191, Bajocien, Longvy.  
— 60 R. gland. pyrifer pag. 191, weisser Jura γ, Rechberg.  
— 61. 62 R. glandarius pag. 191, oberer weisser Jura, Strainberg.  
— 63—65 R. glandarius pag. 192, Jura, Crusnes.  
— 66—78 R. dorsatus pag. 193, St. Cassian.  
— 79—81 Cidaris foratus pag. 195, St. Cassian.  
— 82 C. crumena pag. 195, St. Cassian.  
— 83—85 C. trigonus pag. 196, daher.  
— 86—89 Radiolus complanatus pag. 196, daher.  
— 90. 91 R. cf. dorsatus pag. 198, daher.  
— 92—95 R. fustis pag. 198, daher.  
— 96 Cidaris cf. Bronnii pag. 199, daher.  
— 97 C. cf. semicostata pag. 199, daher.  
— 98 C. undulatus pag. 199, daher.  
— 99 C. Buchii pag. 200, daher.  
— 100—108 C. alatus cuniciformis pag. 201, daher.  
— 109—115 C. cf. alatus pag. 202, daher.  
— 116—118 C. cf. alatus pag. 202, beutelförmig, daher.  
— 119 C. nodiclava pag. 203, kolbenförmig, daher.  
— 120—129 C. Römeri pag. 204, St. Cassian.  
— 130 C. steliclava pag. 203, daher.  
— 131 C. cf. Wächteri pag. 203, daher.  
— 132 C. baculifera pag. 206, daher.  
— 133 C. cf. baculifera pag. 206, daher.  
— 134 Assulae laminatae pag. 206, daher.  
— 135 Cidaris subnobilis pag. 207, daher.  
— 136. 137 C. Suessii pag. 207, daher.  
— 138. 139 C. Liagora pag. 208, daher.  
— 140 C. subcoronata pag. 208, daher.  
— 141 C. cf. subcoronata pag. 209, daher.  
— 142 C. sp. ind. pag. 209, daher.  
— 143. 144 C. Adneto pag. 209, daher.
-

## Erklärung tab. 69.

- Fig. 1 Cidaris praehistrix pag. 211, Molasse, Dürmentingen.  
 — 2 C. histrix pag. 211, lebend, Mittelmeer.  
 — 3 C. infratertiarius pag. 212, Eocen, Grünten.  
 — 4 C. Veronensis pag. 212, Eocen, Monte Lupario.  
 — 5 a. b C. Schmideli pag. 213, unbekanntes Fundort.  
 — 6 Porocidaris pag. 213, Assel, Verona, Nummulithenkalk, Copie.  
 — 7 Cidaris eocenus pag. 215, Eocen, Teisenberg.  
 — 8 C. cervicornis pag. 214, Verona, Nummulithenkalk.  
 — 9 C. stemmacantha pag. 214, Molasse, Copie.  
 — 10—12 Polycidaris multiceps pag. 216, weisser Jura  $\alpha$ , Böllert.  
 — 13 desgleichen pag. 216, weisser Jura  $\gamma$ , Friedingen.  
 — 14 Polycidaris nonarius pag. 217, weisser Jura  $\alpha$ , Lochen.  
 — 15 Diplocidaris alternans pag. 219, weisser Jura  $\varepsilon$ , Nattheim.  
 — 16—18 Diplocid. Desori pag. 219, weisser Jura  $\varepsilon$ , Oerlinger Thal.  
 — 19 Diplocid. cf. Desori pag. 221, daher, betrüglich zusammengesetzt.  
 — 20—26 desgleichen pag. 221, daher.  
 — 27. 28 desgleichen pag. 222, Nollhaus.  
 — 29 desgleichen pag. 222, Nattheim.  
 — 30—35 Geflügelte Stacheln pag. 222, weisser Jura  $\varepsilon$ , Oerlinger Thal.  
 — 36. 37 Cf. Diplocidaris pag. 223, Lochen.  
 — 38 Diplocidaris gigantea pag. 224, weisser Jura  $\varepsilon$ , Ittenhausen.  
 — 39 desgleichen pag. 223, weisser Jura  $\varepsilon$ , Kienlesberg.  
 — 40—43 Diplocid. pustuliferus pag. 226, weisser Jura  $\varepsilon$ , Oerlinger Thal.  
 — 44—46 desgleichen pag. 226, weisser Jura  $\varepsilon$ , Nattheim.  
 — 47 Pustulifere pag. 227, weisser Jura  $\alpha$ , Lochen.  
 — 48—57 desgleichen pag. 227, weisser Jura  $\varepsilon$ , Oerlinger Thal.  
 — 58 desgleichen pag. 229, daher, Balken.  
 — 59—61 desgleichen pag. 229, daher, Genitalplatten.  
 — 62—64 desgleichen pag. 230, weisser Jura  $\varepsilon$ , Nattheim.  
 — 65—68 Orthocidaris inermis pag. 231, Neocom, Copie.  
 — 69. 70 Cf. Leptocidaris pag. 233, weisser Jura  $\alpha$ , Lochen.  
 — 71 Leptocidaris triceps pag. 232, mittlerer weisser Jura, Nnsplingen.  
 — 72 Cidaris Blaburensis pag. 233, oberer weisser Jura, Blaubeuren.  
 — 73 Cidaris pag. 234, weisser Jura  $\gamma$ , Salmendingen.  
 — 74—77 Salenia interpunctata pag. 239, weisser Jura  $\varepsilon$ , Nattheim.  
 — 78 S. sculptopunctata pag. 242, daher.  
 — 79 S. interpunctata pag. 241, oberer weisser Jura, Nickolsburg.  
 — 80 Heterosalenia Martini pag. 243, Hippuritenkreide, Copie.  
 — 81 Salenia areolata pag. 244, oberer Quader, Salzburg.  
 — 82 S. stellifera pag. 245, weisse Kreide, Rügen.  
 — 83 S. petalifera pag. 246, chloritische Kreide, Pyn.  
 — 84 S. macrostoma pag. 247, Neocom, Bieler See.  
 — 85 Peltastes clathratus pag. 248, Gault, Perte du Rhône, Steinkern.  
 — 86. 87 P. Studeri pag. 248, daher, Schale.  
 — 88 P. acanthoides pag. 249, Cenoman von Havre, Copie.  
 — 89 Goniophorus lunulatus pag. 249, daher, Copie.









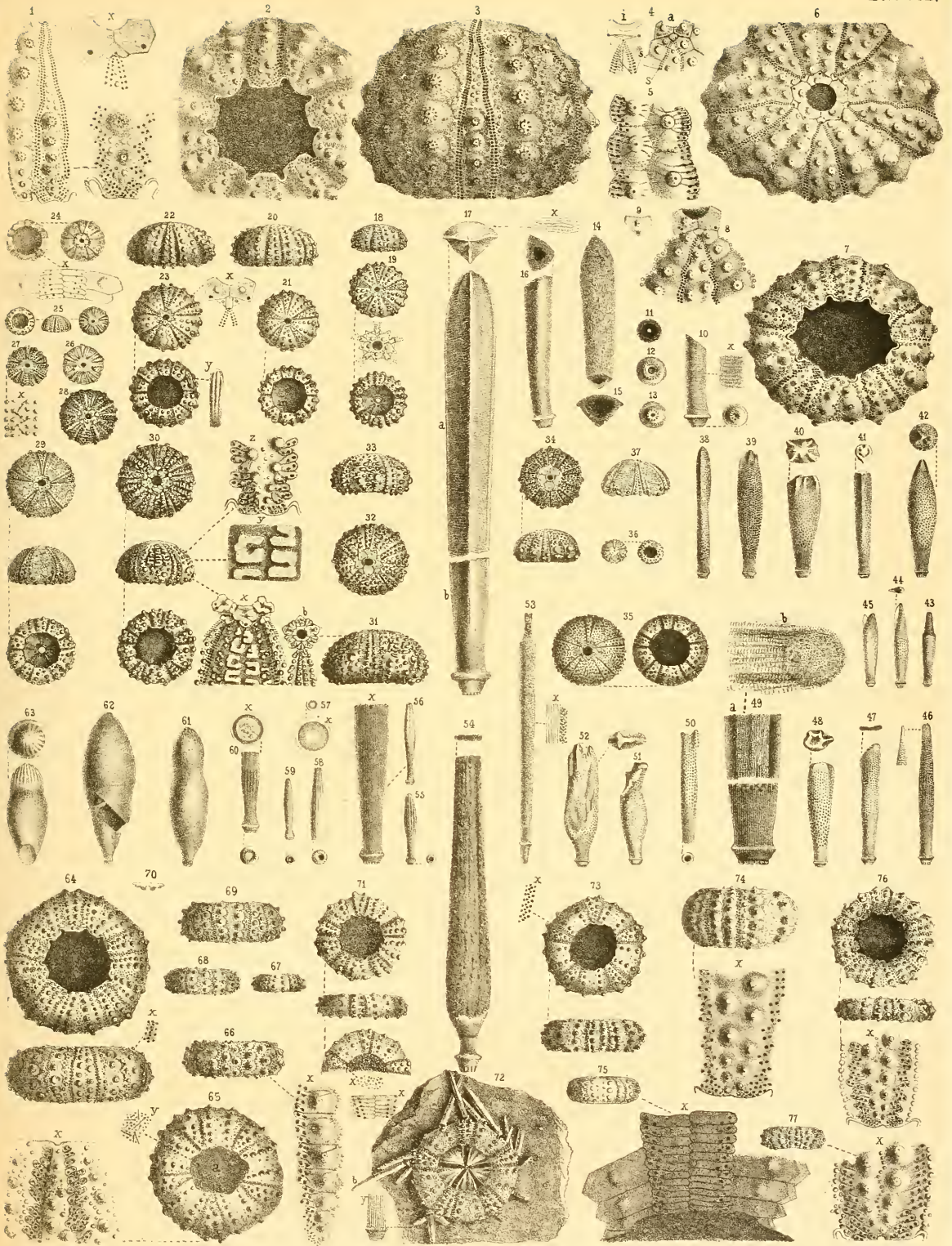


## Erklärung tab. 70.

- Fig. 1 Acrosalenia spinosa pag. 251, Cornbrash, Wiltshire.  
— 2—4 desgleichen pag. 252, mittlerer brauner Jura, Hummel.  
— 5 Acros. Lycetti pag. 253, Pea Grit, Crickley.  
— 6 Milnia Haimii pag. 254, Neocom, Bieler See.  
— 7 Milnia dolomitica pag. 255, weisser Jura  $\epsilon$ , Nattheim.  
— 8 Psilosalenia Lochenensis pag. 255, weisser Jura  $\alpha$ , Lochen.  
— 9 Psilos. scabra pag. 256, weisser Jura  $\alpha$ , Mülheim.  
— 10 Psilos. Germanica pag. 256, weisser Jura  $\alpha$ , Lochen.  
— 11 Echinopsis calva pag. 257, weisser Jura  $\epsilon$ , Nattheim.  
— 12 Tiaris Scolopendra pag. 260, daher.  
— 13—15 Tiaris fistulosus pag. 264, weisser Jura  $\epsilon$ , Ulm.  
— 16—19 Tiaris claviceps pag. 265, daher.  
— 20 Tiaris Scolopendra pag. 262, weisser Jura  $\epsilon\zeta$ , Beiningen.  
— 21 Tiaris cf. fistulosus pag. 266, weisser Jura  $\epsilon$ , Nattheim.  
— 22 Tiaris cf. Scolopendra pag. 266, daher.  
— 23 Tiaris cf. claviceps pag. 266, weisser Jura  $\epsilon$ , Ulm.  
— 24 Tiaris cf. conoideus pag. 266, weisser Jura  $\epsilon$ , Nattheim.  
— 25—28 Tiaris conoideus suevicus pag. 266, weisser Jura  $\epsilon$ , Ulm.  
— 29 desgleichen pag. 267, Nattheim.  
— 30. 31 Tiaris fistulosus moravicus pag. 268, Nickolsburg, Oberer weisser Jura.  
— 32—38 Tiaris conoideus moravicus pag. 267, daher.  
— 39 Tiaris crenularis pag. 269, wahrscheinlich Nattheim.  
— 40 Tiaris crenul. antiserialis pag. 270, Oxfordien supérieur, Trouville.  
— 41 Cidaris coronatus pag. 271, Terr. à Chailles Druyes.  
— 42 Tiaris cf. diademata pag. 271, daher.  
— 43 Tiaris antiserialis pag. 272, weisser Jura  $\epsilon$ , Nattheim.  
— 44 Tiaris cf. crenularis pag. 272, Heidenheim?  
— 45 Tiaris Luciensis pag. 272, Grande Oolite, Poix.  
— 46 Tiaris antiserialis pag. 273, weisser Jura  $\epsilon$ , Nattheim.  
— 47 Tiaris Scolopendra pag. 273, daher.  
— 48 Tiaris crenularis pag. 274, daher, cf. diademata Ag.  
— 49 desgleichen pag. 274, daher.  
— 50 Tiaris intermedius pag. 275, Coralrag, Wiltshire.  
— 51 Tiaris mitra pag. 276, Portland, Solothurn.  
— 52. 53 Tiaris undulatus pag. 277, Coralrag, Birsthal.  
— 54 Tiaris stramonium pag. 277, daher.  
— 55. 56 Tiaris cf. intermedius pag. 276, daher.  
— 57. 58 desgleichen pag. 276, weisser Jura  $\epsilon$ , Nattheim.

## Erklärung tab. 71.

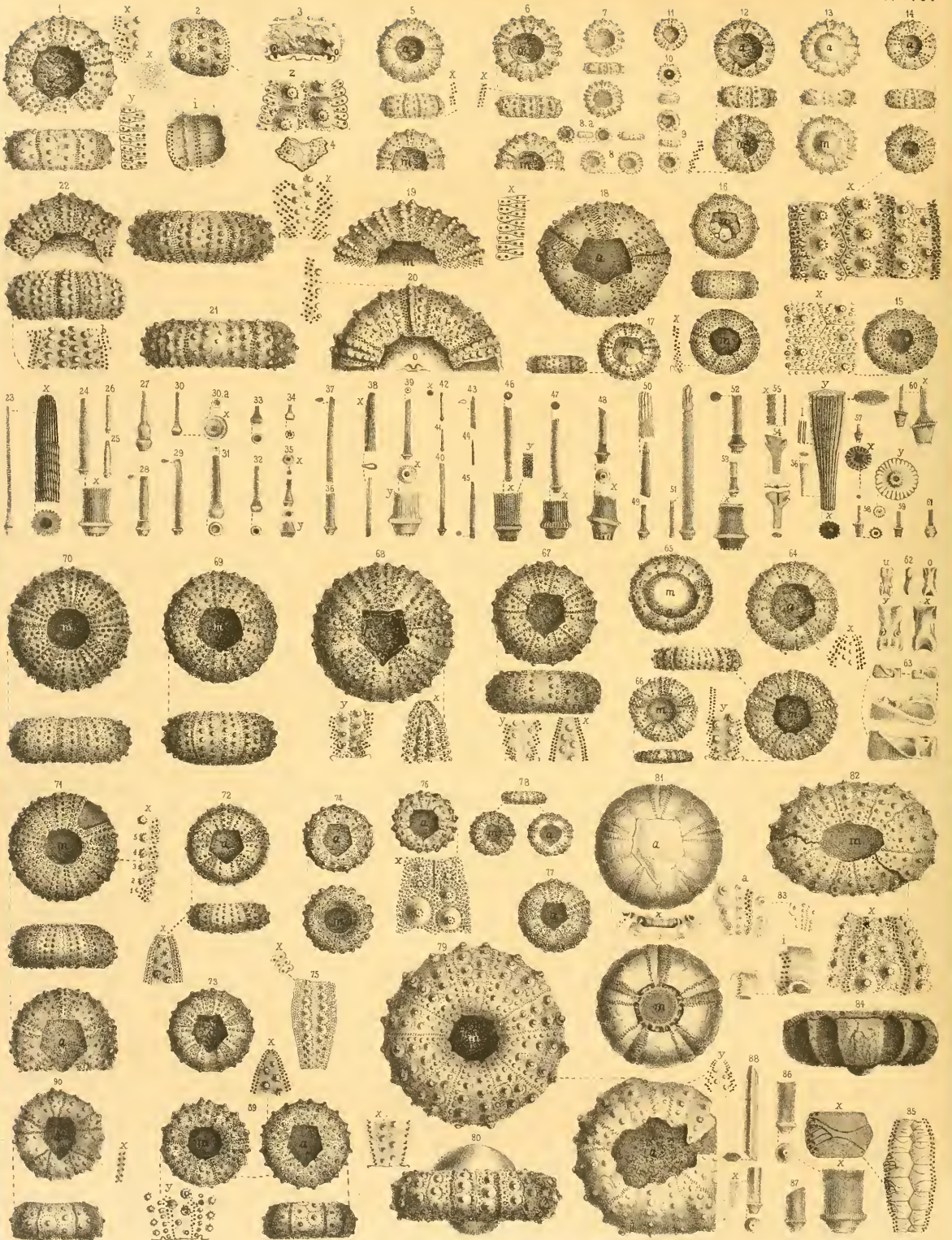
- Fig. 1, 2 *Tiaris serialis* pag. 277, weisser Jura  $\varepsilon$ , Nattheim;  $x$  und  $y$  vergrössert.  
 — 3 desgleichen pag. 278, weisser Jura  $\varepsilon$ , Hohenstadt.  
 — 4 *Acrocidaris formosus* pag. 281, weisser Jura  $\varepsilon$ , Nattheim: Scheitel  $i$  innen,  $a$  aussen.  
 — 5 desgleichen pag. 281, daher, etwas vergrössert.  
 — 6 desgleichen pag. 280, weisser Jura  $\varepsilon\zeta$ , Birkenlau bei Sotzenhausen.  
 — 7 desgleichen pag. 280, weisser Jura  $\varepsilon$ , Nattheim.  
 — 8, 9 desgleichen pag. 280, weisser Jura  $\varepsilon$ , Nattheim.  
 — 10 *Acrocidaris undulatus* pag. 282, Oberer weisser Jura, Birsthal.  
 — 11—17 *Acrocidaris formosus* pag. 281, weisser Jura  $\varepsilon$ , Nattheim.  
 — 18—21 *Cidaris acquituberculatus* pag. 283, daher.  
 — 22, 23 desgleichen pag. 284, weisser Jura  $\varepsilon$ , Nickolsburg.  
 — 24 *Gomopygus peltatus* pag. 284, Neocom, Neuchatel.  
 — 25—28 *Echinus sulcatus* pag. 286, weisser Jura  $\varepsilon$ , Engelhardtsberg.  
 — 29 *Echinus cf. sulcatus* pag. 286, weisser Jura  $\varepsilon$ , Nattheim.  
 — 30 *Echinus hieroglyphicus* pag. 287, Kieselnierenkalk, Fringeli.  
 — 31 desgleichen pag. 288, daher.  
 — 32 desgleichen pag. 288, Belfort, weisser Jura.  
 — 33 desgleichen pag. 289, Novion, weisser Jura.  
 — 34 *Echinus sulcopunctus* pag. 289, Birsthal.  
 — 35 *Echinus intricatus* pag. 289, weisser Jura  $\varepsilon$ , Nickolsburg.  
 — 36, 37 *Echinus cf. hieroglyphicus* pag. 289, weisser Jura  $\varepsilon$ , Nattheim.  
 — 38—48 *Cidaris cucumis* pag. 290, weisser Jura  $\alpha$ , Lochen etc.  
 — 49 desgleichen pag. 292, daher, vergrössert:  $a$  Längs-,  $b$  Querschnitt.  
 — 50 desgleichen pag. 291, daher, Blindstacheln.  
 — 51 desgleichen pag. 293, Oberer weisser Jura, Ehrenstein.  
 — 52 desgleichen pag. 293, weisser Jura  $\varepsilon$ , Steinweiler.  
 — 53 Verkieselter Stachel pag. 292, weisser Jura  $\varepsilon$ , Nattheim.  
 — 54 Verdrückter Stachel pag. 292, weisser Jura  $\zeta$ , Nusplingen.  
 — 55 *Cidaris subteres* pag. 293, weisser Jura  $\alpha$ , Streitberg.  
 — 56 desgleichen pag. 294, weisser Jura  $\gamma$ , Gosbach.  
 — 57 desgleichen pag. 294, weisser Jura  $\gamma$ , Weissensteiner Steige.  
 — 58—60 desgleichen pag. 294, weisser Jura  $\varepsilon$ , Oerlinger Thal.  
 — 61—63 *Cidaris clunifer* pag. 294, Oberes Neocom, Neuchatel.  
 — 64 *Diadema subangularis* pag. 299, weisser Jura  $\varepsilon$ , Ranschberg.  
 — 65 desgleichen pag. 299, weisser Jura  $\varepsilon$ , Nollhaus.  
 — 66 desgleichen pag. 300, Oolith  $\varepsilon$ , Schnaitheim.  
 — 67—69 desgleichen pag. 302, daher.  
 — 70 desgleichen pag. 299, Nattheim, nach unten gekehrte Ohren.  
 — 71 *Pseudodiadema parvulum* pag. 302, weisser Jura  $\varepsilon$ , Schelklingen.  
 — 72 *Diadema subangularis* pag. 301, weisser Jura  $\zeta$ , Sotzenhausen.  
 — 73 *Diadema cf. Arovicense* pag. 303, Kieselnierenkalk, Fringeli.  
 — 74 *Diadema cf. subangularis* pag. 303, weisser Jura, Crusnes.  
 — 75 *Diadema* pag. 304, Brauner Jura? Balingen.  
 — 76 *Diadema depressum* pag. 304, Brauner Jura  $\delta$ , Hohe Karpfen.  
 — 77 desgleichen pag. 305, Inferior Oolite, Crickley.









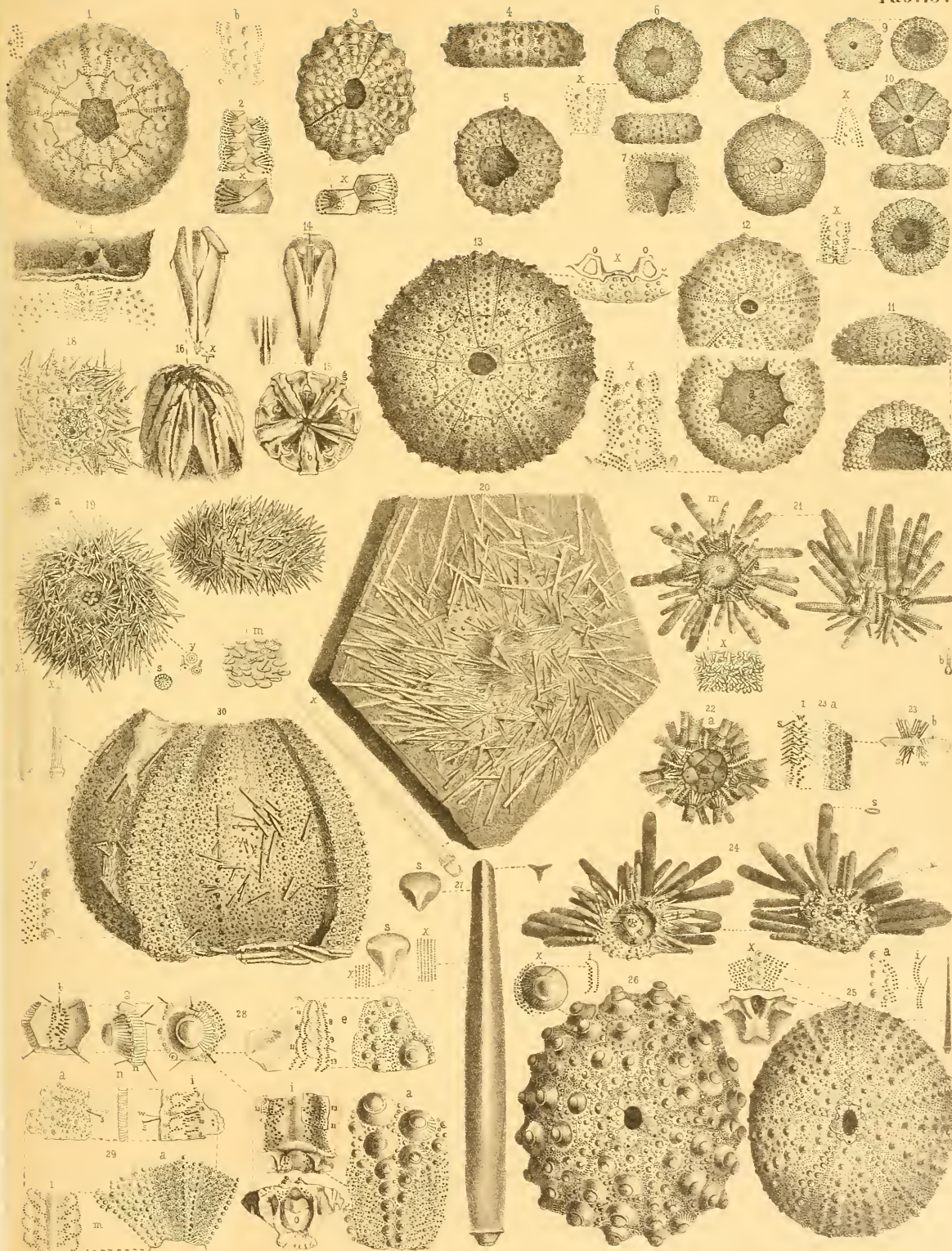


## Erklärung tab. 72.

- Fig. 1 Diadema Lochensis pag. 305, weisser Jura z, Lochen.  
— 2 desgleichen pag. 305, daher, Bruchstück, *i* innen.  
— 3 desgleichen pag. 305, daher, *o* innere Ohren.  
— 4 desgleichen pag. 306, daher, Bruchstück vom Afterrande.  
— 5—7 Diadema Lochensis minor pag. 306, daher, mittelgross.  
— 8. 8a desgleichen pag. 307, daher, kleinste Brut.  
— 9. 10 Psilosalenia pag. 307, daher, Brut.  
— 11. 12 Diadema areolatum pag. 307, weisser Jura z, Birmensdorf.  
— 13 Diadema distichus pag. 308, weisser Jura z, Nattheim.  
— 14 Diadema superbum pag. 308, Ornathenthon, Belfort.  
— 15 Diadema homostigma pag. 308, oberer Ornathenthon, Birsthal.  
— 16 Diadema Meriani pag. 309, mittlerer brauner Jura, Hauenstein.  
— 17. 18 Diadema subangularis pag. 310, weisser Jura z, Nattheim.  
— 19 Diad. subangularis polyopus pag. 311, daher.  
— 20 Diad. subang. oligopus pag. 311, daher.  
— 21 Diad. subang. exostichus pag. 311, weisser Jura z, Ringingen.  
— 22 Diad. tetrastichus pag. 312, weisser Jura z, Nattheim.  
— 23 Diad. Savignyi pag. 312, Stachel, lebt im Rothen Meere.  
— 24—26 Diad. cf. subangularis pag. 312, weisser Jura z, Nattheim.  
— 27—29 desgleichen pag. 313, weisser Jura z, Oerlinger Thal.  
— 30 Radiolus macrocephalus pag. 313, daher.  
— 31 desgleichen pag. 313, weisser Jura z, Schnaitheim.  
— 32—35 Radioli macrocephali pag. 313, weisser Jura z, Lochen.  
— 36—44 Diadema Lochensis pag. 314, daher.  
— 45 desgleichen pag. 314, weisser Jura z, Veilsbrunn.  
— 46 Diadema breviceps pag. 315, weisser Jura z, Lochen.  
— 47 Diad. strigiceps pag. 315, desgleichen, daher.  
— 48—50 Diad. orbiceps pag. 315, desgleichen, daher.  
— 51 Diad. cf. orbiceps pag. 315, weisser Jura z, Veilsbrunn.  
— 52. 53 Cidaris cf. digitatus pag. 316, weisser Jura z, Lochen.  
— 54 Cidaris digitatus pag. 316, desgleichen, daher.  
— 55 Cidaris cf. digitatus pag. 316, desgleichen, daher.  
— 56 Cidaris cf. Lochensis pag. 316, desgleichen, daher.  
— 57. 58 Diadema caliculus pag. 317, weisser Jura z, Lochen.  
— 59. 60 desgleichen pag. 317, weisser Jura z, Oerlinger Thal.  
— 61 kranker Stachel pag. 317, daher.  
— 62 Balken von Diadema pag. 318, weisser Jura z, Lochen.  
— 63 Ergänzungsstück von Diadema pag. 318, daher.  
— 64—66 Tetragramma planissimum pag. 318, Portland, Solothurn.  
— 67 Diadema Anonii pag. 319, weisser Jura, Schweiz.  
— 68. 69 Tetragramma Brongnarti pag. 320, Gault, Perte du Rhone.  
— 70 Cidaris variolaris pag. 321, Chloritische Kreide, Chard.  
— 71 Cidaris cf. variolaris pag. 322, Gault, Escragnolle.  
— 72 Diadema cf. Blancheti pag. 322, Gault, Perte du Rhone.  
— 73 Diad. Blancheti pag. 322, Chloritische Kreide, Vaches noires.  
— 74. 75 Diad. Rhodani pag. 323, Gault, Perte du Rhone.  
— 76 Diad. Normaniae pag. 323, Chloritische Kreide, Rouen.  
— 77. 78 Diad. rotulare pag. 324, Neocom, Neuchatel.  
— 79 Cyphosoma corollaris pag. 325, weisse Kreide, Geschiebe von Satow.  
— 80 desgleichen pag. 326, weisse Kreide, Rügen.  
— 81 desgleichen pag. 326, Feuersteinkern, Geschiebe von Satow.  
— 82 Cyphosoma variol. princeps pag. 327, weisse Kreide, Rügen.  
— 83 desgleichen pag. 327, daher, Bruchstück vom Mundrande.  
— 84 Cyphosoma corollaris pag. 326, Feuersteingeschiebe, Malchin.  
— 85 desgleichen pag. 327, Feuersteingeschiebe, Satow.  
— 86. 87 Cyphosoma variolatus pag. 328, weisse Kreide, Rügen.  
— 88 desgleichen pag. 328, daher, gekantet.  
— 89 Cyph. variol. Strehlensis pag. 328, Pläner, Strehlen.  
— 90 desgleichen pag. 329, Pläner, Neinstedt.

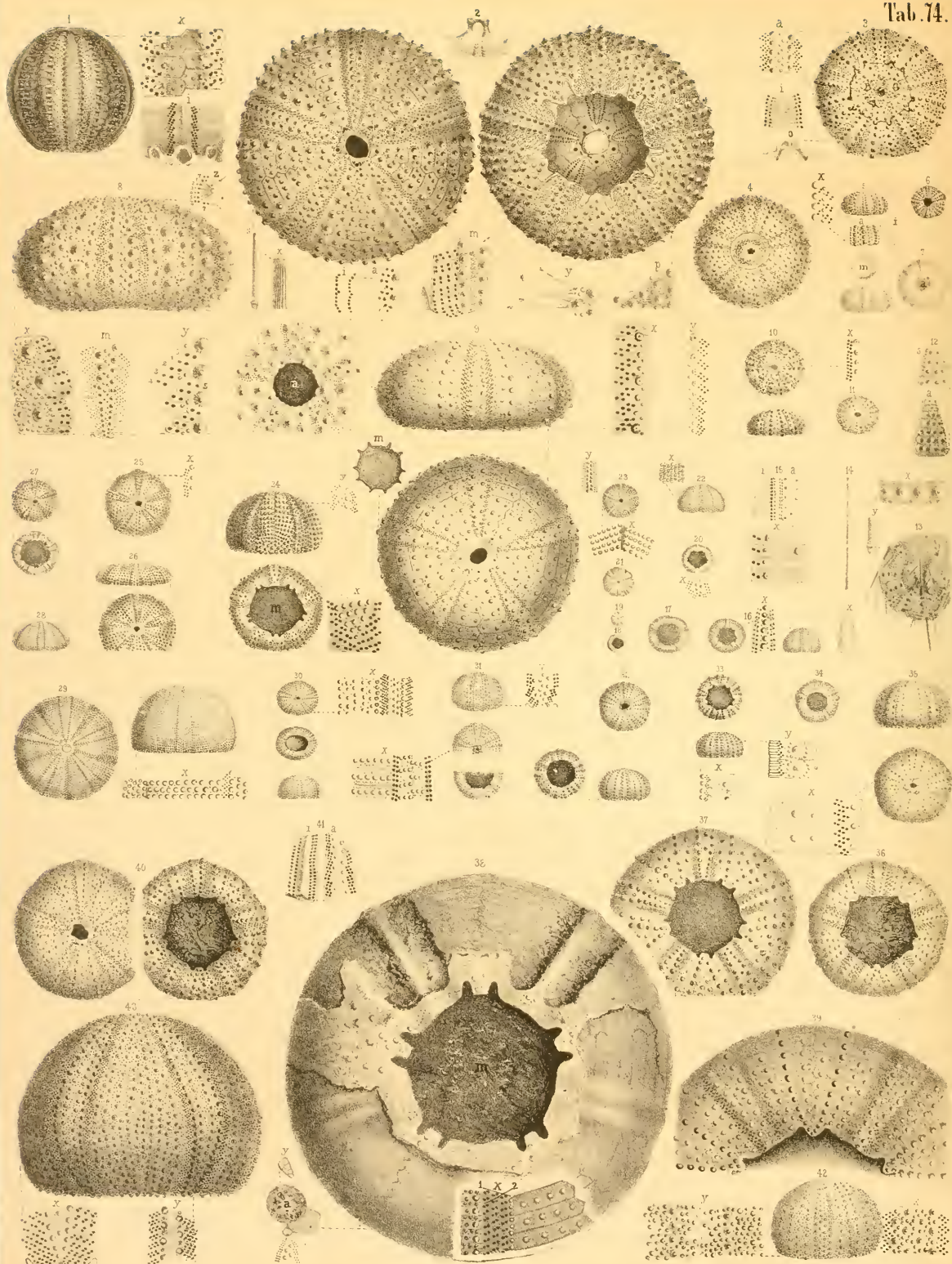
### Erklärung tab. 73.

- Fig. 1 Diadema cribrum pag. 330, Nummulithenkalk. Nizza.  
— 2 desgleichen pag. 330, daher, Porenasselu,  $x$  vergrössert.  
— 3 desgleichen pag. 330, daher,  $x$  vergrösserte Warzen mit Köpfchen.  
— 4 desgleichen pag. 331, daher mit Zwischenwarzen.  
— 5 Diadema cf. cribrum pag. 331, Nummulithenkalk, Montecchio maggiore.  
— 6 Heterodiadema Lybicum pag. 331, Kreide, Batna.  
— 7 desgleichen pag. 331, Afterkreis, Copie nach Cotteau.  
— 8—10 Coelopleurus equis pag. 332, Nummulithenkalk, Biarritz.  
— 11 Coelopleurus Agassizi pag. 333, desgleichen, daher.  
— 12 Cidarites cf. pseudodiadema pag. 334, Eisenrogenstein, Schweiz.  
— 13 Cidarites pseudodiadema pag. 333, Terrain à chailles, Trouville.  
— 14 Echinus esculentus pag. 335, Mittelmeer, Kiefer.  
— 15 desgleichen pag. 335, daher, Laterne von oben.  
— 16 Echinus lineatus pag. 335, weisser Jura  $z$ , Nattheim, Laterne.  
— 17 desgleichen pag. 335, daher, Ohren.  
— 18 Echinus esculentus pag. 335, lebt an der Normannischen Küste.  
— 19 desgleichen pag. 336, daher.  
— 20 Echinus von Kehlheim pag. 337, Solnhofen Platten.  
— 21. 22 Cidaris metularia pag. 336, lebt im indischen Meer.  
— 23 Echinus esculentus pag. 340, Bruchstück mit Porenverlauf:  $i$  innen,  $a$  aussen;  $w$  weisse,  $s$  schwarze Borsten.  
— 24 Acrocladia pag. 339, indischer Ocean.  
— 25 Echinometra lucunter pag. 340, indischer Ocean.  
— 26 Echinometra mammillata pag. 341, Australien.  
— 27 Echinus trigonarius (Acrocladia) pag. 338, aus dem Diluvialsande von Bukarest.  
— 28 Acrocladia pag. 341, Stiller Ocean.  
— 29 Echinus cf. miliaris pag. 343, Chilenische Küste.  
— 30 Echinus lineatus pag. 337, Hochsträss.
-









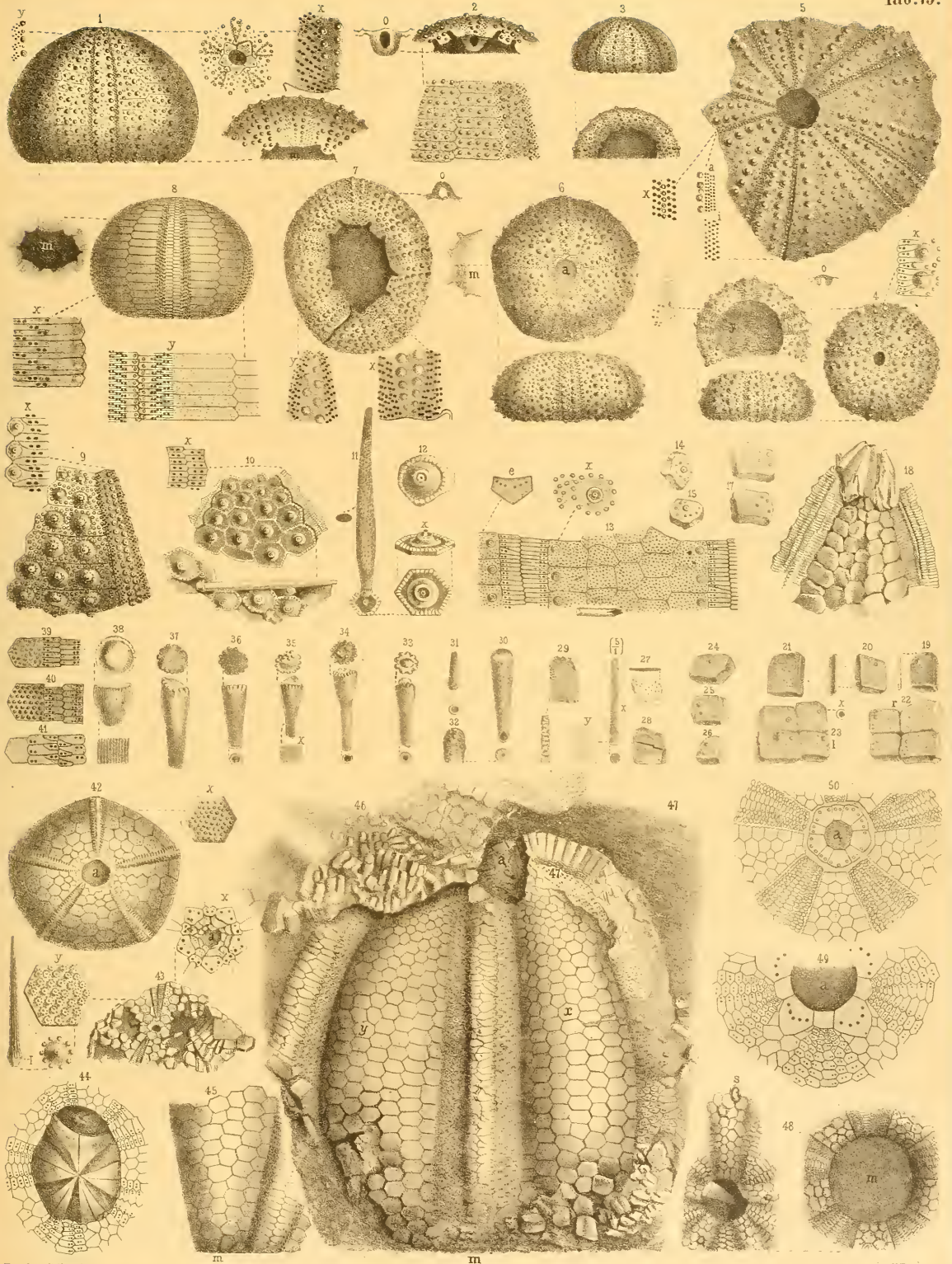


### Erklärung tab. 74.

- Fig. 1 Echinus globulus (Mespilia) pag. 343, lebend in warmen Meeren.  
— 2 Echinus pustulosus (Echinocidaris) pag. 345, lebend in warmen Meeren (Peru).  
— 3 Echinus miliaris (Psammechinus) pag. 345, lebend an der Normannischen Küste. Der grössere Mundkreis durch Linien angedeutet.  
— 4 Echinusmiliaris pag. 344, daher, von der Mundseite mit kleinerem Mundkreise.  
— 5. 6 desgleichen pag. 345, daher, Brut.  
— 7 Echinus dubius pag. 345, Molasse, la Chaux-de-Fonds, *a* After, *m* Mund.  
— 8 Echinus neglectus (Toxopneustes) pag. 347, lebend in der Nordsee.  
— 9 Pedina sublaevis pag. 348, Kieselnierenkalk, Birsthal.  
— 10. 11 Echinopsis Nattheimensis pag. 349, Weisser Jura  $\epsilon$ , Nattheim.  
— 12. 13 Diademopsis Hcerii pag. 350, unterer Lias  $\alpha$ , Schambelen.  
— 14 Stachel pag. 351, unterer Ornatenthon, Gammelshausen.  
— 15 Echinus microcephalus pag. 351, Weisser Jura  $\epsilon$ , Oerlinger Thal.  
— 16—23 Echinus nodulosus  $\alpha$  pag. 352, Weisser Jura  $\alpha$ .  
— 24. 25 Echinus nodulosus  $\epsilon$  pag. 354, Weisser Jura  $\epsilon$ , Nattheim.  
— 26 desgleichen pag. 355, Weisser Jura  $\alpha$ , Wippingen.  
— 27 desgleichen pag. 355, Weisser Jura  $\alpha$ , Beiningen.  
— 28. 29 Echinus punctatus pag. 355, Weisser Jura  $\epsilon$ , Nattheim.  
— 30 Polycyphus nodulosus pag. 356, Grande Oolite, Ranville.  
— 31 Coitaldia Wicstii pag. 356, Chloritische Kreide, Chardstock.  
— 32 Echinus excavatus pag. 357, Weisser Jura  $\alpha$ , Engelhardtsberg.  
— 33 desgleichen pag. 358, oberer Weisser Jura, Montecchio maggiore.  
— 34 Echinus cf. excavatus pag. 358, Eocen, Verona.  
— 35 Echinus bigranularis pag. 359, Parkinsonschicht, Port.  
— 36 desgleichen pag. 360, Bath Oolite, Metz.  
— 37 desgleichen pag. 360, Bath Oolite, Luc.  
— 38 Echinus lineatus pag. 360, Weisser Jura  $\alpha$ , Giengen: *a* After, *m* Mund, *x* etwas vergrösserter Porenlauf auf den Seiten; *y* Textilaria vergrössert.  
— 39 Echinus lineatus pag. 361, Weisser Jura  $\epsilon$ , Nattheim.  
— 40 Echinus lineatus pag. 362, Weisser Jura  $\epsilon$ , Nattheim.  
— 41 desgleichen pag. 362, daher: *a* aussen, *i* innen.  
— 42 Echin. lineatus var. pag. 362, Weisser Jura  $\alpha$ , Nattheim.  
— 43 Echinus lineatus pag. 363, Weisser Jura  $\epsilon$ , Nattheim.

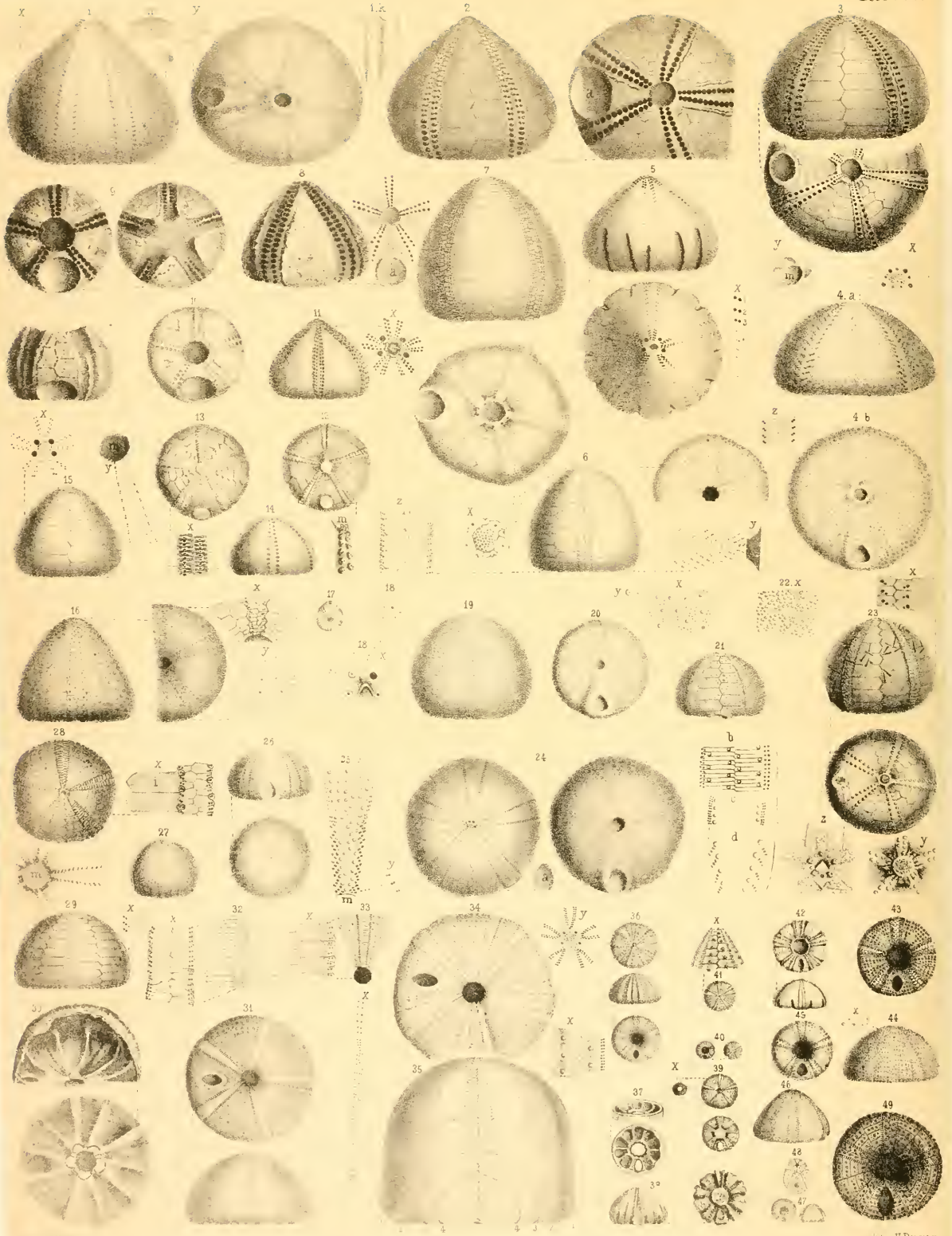
## Erklärung tab. 75.

- Fig. 1 Echinus perlatus pag. 363, Terrain à Chailles, Mont Terrible.  
 — 2 desgleichen pag. 364, Terrain à Chailles, Birsthal.  
 — 3 desgleichen pag. 365, daher, jung.  
 — 4 Echinus Novionensis pag. 367, Grande Oolite Novion.  
 — 5 Echinus alternans pag. 365, Weisser Jura z, Wippingen.  
 — 6 desgleichen pag. 366, Weisser Jura z, Nattheim.  
 — 7 desgleichen pag. 366, daher.  
 — 8 Echinus rotundus pag. 367, Neocom, Codcchinus.  
 — 9 Heterocidaris Trigeri pag. 370, Oolite inférieure, Le Chevain, Copie.  
 — 10 Archaeocidaris Wortheni pag. 372, St. Louis limestone, Missouri, Copie.  
 — 11 Archaeoc. Agassizi pag. 373, Burlington Limestone, Copie; *x* vergrössert.  
 — 12 Archaeoc. Rossicus pag. 373, jüngerer Bergkalk Mjatschkowa, Copie.  
 — 13 Perischodonus biserialis pag. 374, Unterer Bergkalk, Wexford, Copie.  
 — 14—17 Lepidocentrus Eifelianus pag. 374, Devon, Prüm.  
 — 18 Palaechinus Rhenanus pag. 376, Grauwacke, Wipperfürth, Copie.  
 — 19—21 Lepidocentrus Eifelianus pag. 375, Devon, Eifel.  
 — 22, 23 desgleichen pag. 375, daher, vier Stück linke (*l*) und rechte (*r*) zusammengestellt.  
 — 24—26 desgleichen pag. 376, daher, verschiedene Asseln.  
 — 27 Eine besondere Platte pag. 376, daher.  
 — 28 Platte mit darauffliegenden Stacheln pag. 376, daher.  
 — 29 Platte mit Kerbrande pag. 376, daher.  
 — 30—37 Palaeocidaris Rhenanus pag. 377, Devon, Eifel.  
 — 38 Palaeocidaris pag. 378, zweifelhaft.  
 — 39 Palaechinus elegans pag. 379, Kohlenkalk, Irland, Copie.  
 — 40 Palaechinus gigas pag. 380, daher, Copie.  
 — 41 Palaechinus Phillipsiae pag. 379, Caradocconglomerat, Malvern hills, Copie.  
 — 42 Palaechinus ellipticus pag. 380, Bergkalk, Irland, Copie.  
 — 43 Pal. elegans pag. 380, Bergkalk, Copie.  
 — 44 Melonites multipora pag. 382, Gebiss, Copie.  
 — 45 desgleichen pag. 382, St. Louis.  
 — 46, 47 desgleichen pag. 382, daher, zwei Exemplare 46 und 47 aufeinander.  
 — 48 desgleichen pag. 382, daher, After- *a* und Mundseite *m*.  
 — 49 desgleichen pag. 383, Copie nach Worthen.  
 — 50 desgleichen pag. 383, Copie nach Römer.









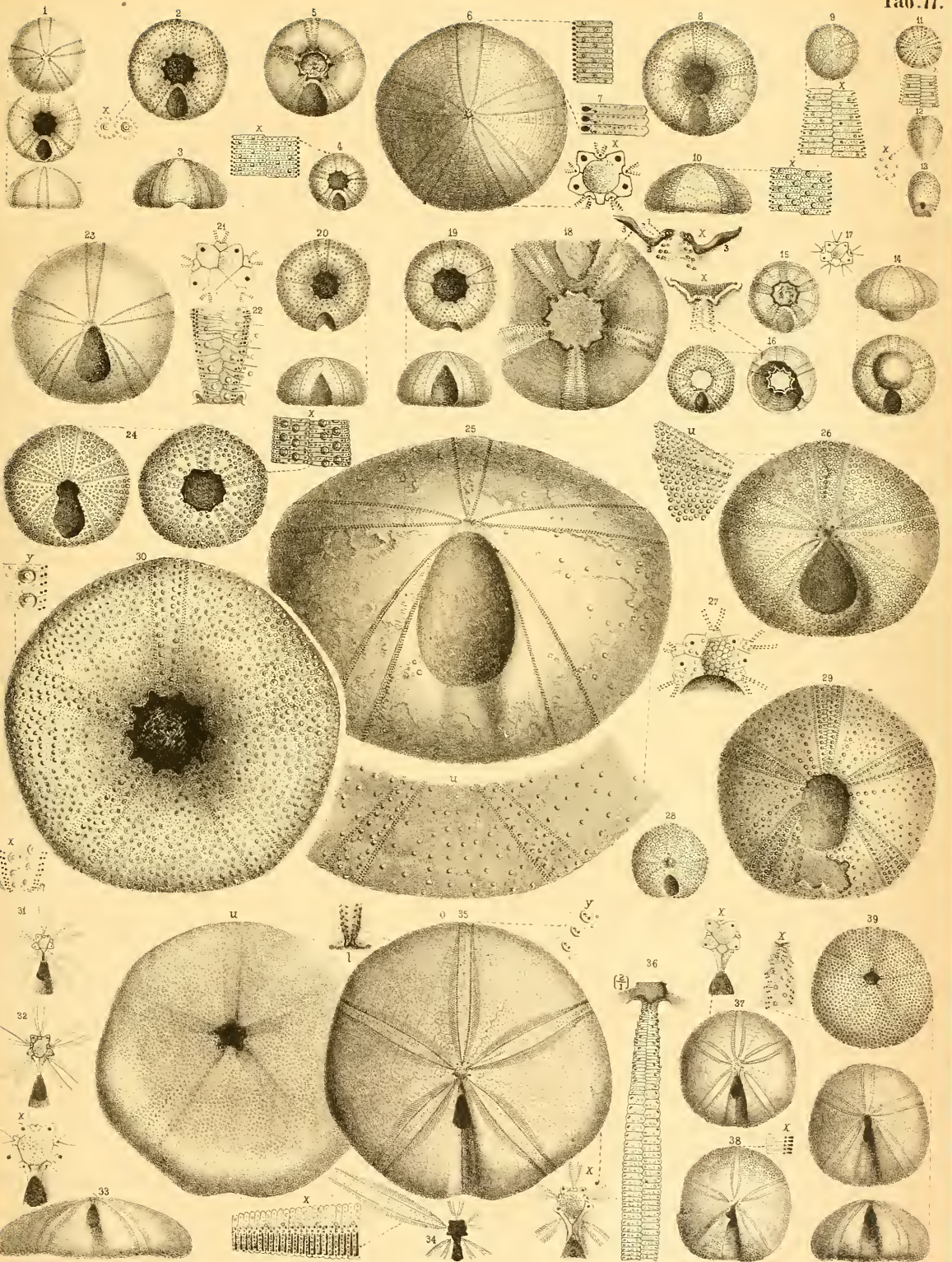
## Erklärung tab. 76.

- Fig. 1 Galerites vulgaris pag. 396, Weisse Kreide, Rügen.  
— 1. k desgleichen pag. 398, Kieferreste, Copie.  
— 2 desgleichen pag. 398, Kieselkern, Satow.  
— 3 Galerites abbreviatus pag. 398, Kieselkern, Satow.  
— 4 desgleichen pag. 399, Kalkschalen, Quitzin.  
— 5 desgleichen pag. 399, Geschiebe, Mecklenburg.  
— 6 Galerites albogalerus pag. 400, Weisse Kreide, England?  
— 7 desgleichen pag. 400, Feuersteinkern, St. Julien du Sault.  
— 8. 9 Galerites vulgaris pag. 402, Feuersteinkerne, Satow.  
— 10 desgleichen pag. 402, Feuersteinkern, Mark.  
— 11. 12 desgleichen pag. 403, Feuersteinkern, Satow.  
— 13 Galerites cf. abbreviatus pag. 403, Feuersteinkern, Satow.  
— 14 Galerites vulgaris pag. 404, Mecklenburg.  
— 15 desgleichen pag. 404, Kalkschale, Rederank.  
— 16 desgleichen pag. 404, Kreide, Proczowice.  
— 17 Caratodus rostratus pag. 405, Chloritische Kreide, Havre, Copie.  
— 18—21 Galerites Römeri pag. 405, Weisse Kreide, Lüneburg.  
— 22. x Caratodus hemisphaericus pag. 406, Weisse Kreide, Rügen, Stück vergrößerter Oberfläche.  
— 23 desgleichen pag. 407, Feuersteinkern, Mecklenburg.  
— 24 Galerites castanea pag. 408, Gault, Escragnolles.  
— 25—27 Galerites Rhotomagensis pag. 409, Chloritische Kreide, Chardstock.  
— 28 Galerites albogalerus pag. 410, Weisse Kreide, England.  
— 29 Galerites cylindricus pag. 413, Weisse Kreide, Lüneburg.  
— 30 desgleichen pag. 413, daher, Inneres.  
— 31 desgleichen pag. 413, daher, flachste Varietät.  
— 32. 33 desgleichen pag. 414, daher, Asseln mit Fühlerporen.  
— 34. 35 desgleichen pag. 412, Chloritische Kreide, Chardstock.  
— 36. 37 Galerites subuculus pag. 415, Grünsand, Essen.  
— 38 desgleichen pag. 415, Chloritische Kreide, Steinholz. Steinkern.  
— 39 desgleichen pag. 415, Kieselkern, Dieppe.  
— 40. 41 desgleichen pag. 416, Chloritische Kreide, Chardstock.  
— 42—45 Galerites Rotula pag. 416, Gault, Escragnolles.  
— 46 Galerites turrinus pag. 417, Gault, Escragnolles.  
— 47 Galerites minimus pag. 417, Chloritische Kreide, Castellane.  
— 48 desgleichen pag. 418, Afer mit Tafelchen, Copie.  
— 49 Discoidea macropyga pag. 418, Neocom, St. Laurent.

## Erklärung tab. 77.

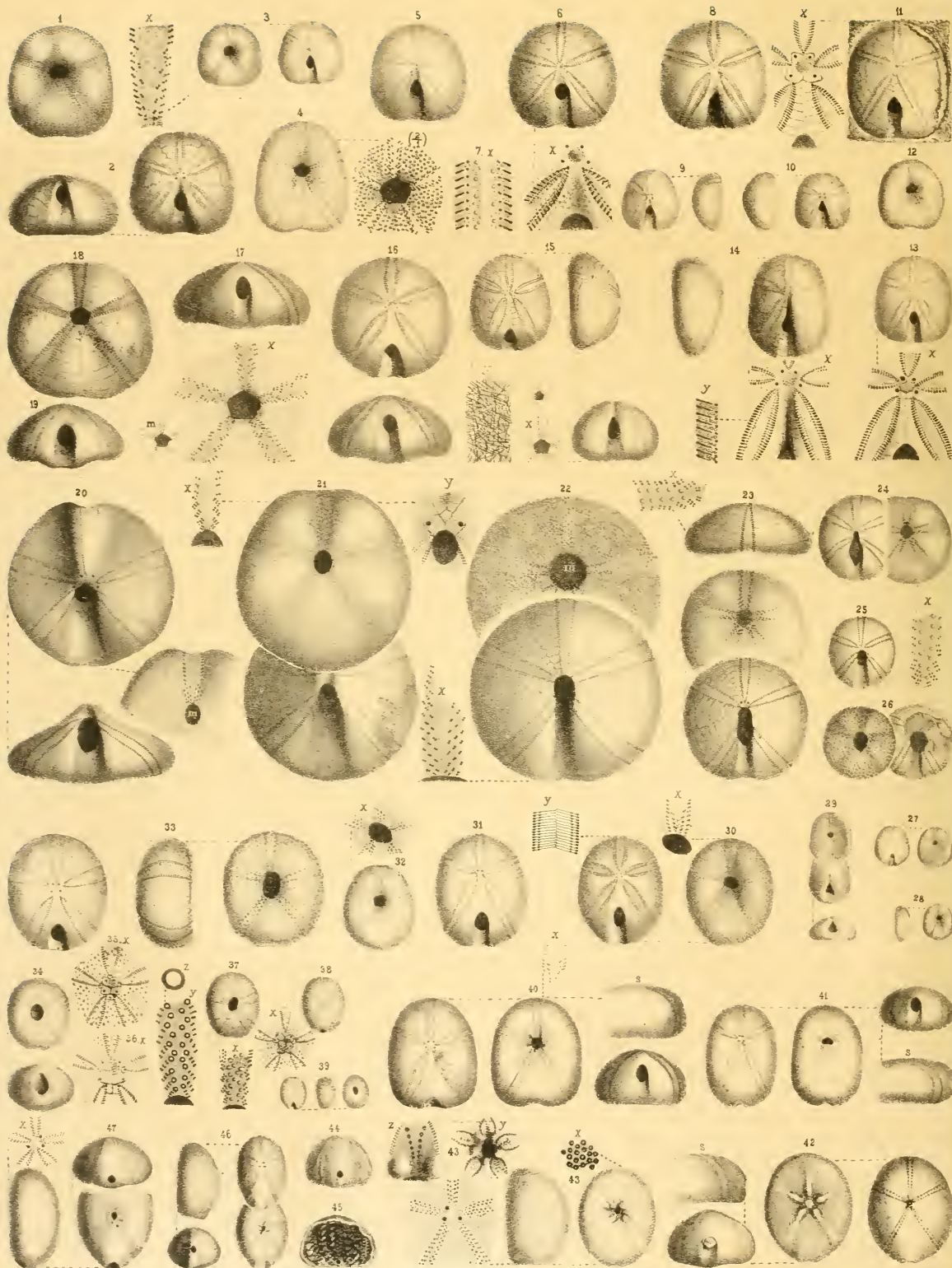
- Fig. 1 Galerites depressus pag. 420, Macrocephalusschicht, Achdorf; abgerieben.  
 — 2 desgleichen pag. 420, daher, Schale.  
 — 3 desgleichen pag. 421, Bathonien, Waldenburg, von hinten.  
 — 4 desgleichen pag. 421, Oberer Brauner Jura, Balin.  
 — 5 desgleichen pag. 421, Steinkern, Brauner Jura.  
 — 6 desgleichen pag. 421, Inferior Oolite, Dorset.  
 — 7 desgleichen pag. 421, Mamers, stark vergrösserte Porenplatte.  
 — 8. 9 Galerites Mandelslohi pag. 423, Weisser Jura  $\gamma$ , Tuttlingen.  
 — 10 desgleichen pag. 423, Weisser Jura  $\gamma$ , Bopfingen.  
 — 11 Galerites pag. 424, Weisser Jura  $\delta$ , Bosler.  
 — 12 Disaster carinatus pag. 424, daher.  
 — 13 Disaster granulosus pag. 424, daher.  
 — 14 Galerites depressus corallinus pag. 425, Weisser Jura  $\varepsilon$ , Ebnat.  
 — 15 desgleichen pag. 425, Weisser Jura  $\varepsilon$ , Amberg.  
 — 16 desgleichen pag. 425, Terrain à Chailles, Winkel.  
 — 17 desgleichen pag. 426, Apex vergrössert, Heidenheim.  
 — 18 Holcctypus corallinus pag. 425, Terrain à Chailles, Druyes.  
 — 19 Galerites apertus pag. 427, Macrocephalusschicht, Gutnadingen.  
 — 20 Galerites hemisphaericus pag. 427, Inferioroolith, Dorset.  
 — 21 desgleichen pag. 427, daher, Apex.  
 — 22 desgleichen pag. 428, daher, Asseln mit Poren.  
 — 23 Pygaster umbrella pag. 430, Korallenkalk, Lützelthal.  
 — 24 Pygaster Gresslyi pag. 431, Corallien, Tonnerre.  
 — 25 Pygaster speciosus pag. 432, Weisser Jura  $\varepsilon$ , Nattheim.  
 — 26 Pygaster cf. patelliformis pag. 431, Oolith  $\varepsilon$ , Schmitheim.  
 — 27 Pygaster truncatus pag. 433, Apex, Copie.  
 — 28 Anorthopygus orbicularis pag. 433, Kreideformation, Copie.  
 — 29. 30 Pygaster semisulcatus pag. 429, Pea Grit, Cheltenham.  
 — 31. 32 Nucleolites patella pag. 438, Great Oolite, Pfaffenheim.  
 — 33 desgleichen pag. 438, daher,  $\alpha$  vergrösserter Apex.  
 — 34 desgleichen pag. 436, daher, Apex,  $\alpha$  vergrössertes Blatt.  
 — 35 Nucleolites patella pag. 438, Grosseolith, Lahr;  $\alpha$  Apex,  $\iota$  Lippe.  
 — 36 desgleichen pag. 437, Grosseolith, Lothringen, Fühlergang in doppelter Grösse.  
 — 37 Nucleolites clunicularis pag. 442, Eisenoolith, Hohenkarpfen.  
 — 38. 39 desgleichen pag. 442, Grosseolith, Lahr.









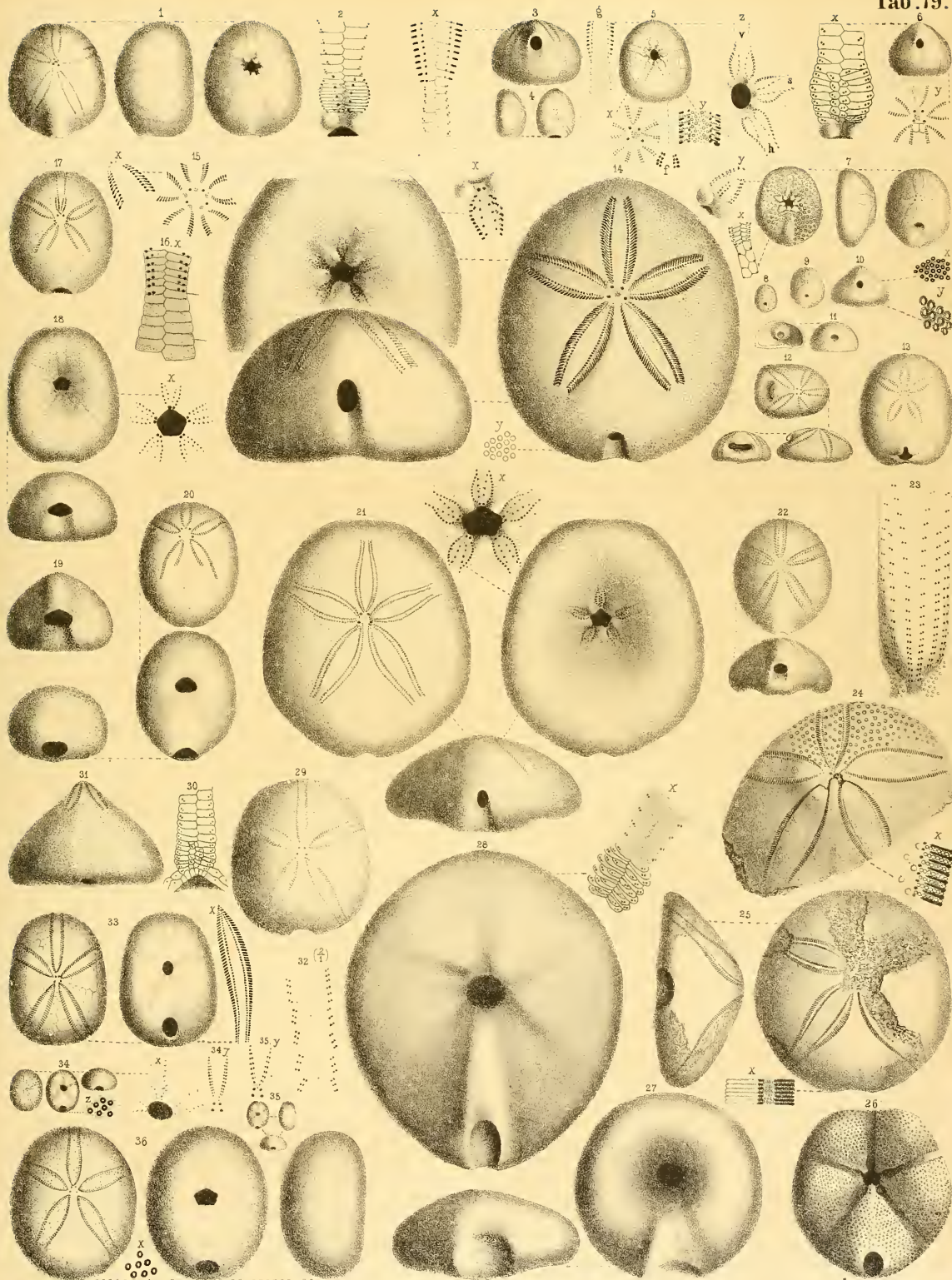


## Erklärung tab. 78.

- Fig. 1 Nucleolites scutatus pag. 443, Weisser Jura  $\varepsilon$ , Mönkeberg.  
— 2 desgleichen pag. 444, Terrain à Chailles, Launoy.  
— 3 desgleichen pag. 444, Oxfordthon, Vaches noires.  
— 3.  $x$  desgleichen pag. 444, daher, Porenlauf am Munde.  
— 4 Nucleolites cf. elongatus pag. 444, Vaches noires, Oxfordthon.  
— 5. 6 Nucleolites scutatus pag. 444, daher.  
— 7 desgleichen pag. 443, Coratrag, Malton, vergrößert Stück vom Ambulacrallblatt.  
— 8 desgleichen pag. 444, daher.  
— 9 desgleichen pag. 445, Oolith, Ranville.  
— 10 Nucleolites clunicularis pag. 445, Oolith, Sarthe.  
— 11 Nucl. scutatus Suevicus pag. 445, Weisser Jura  $\varepsilon$ , Schnaitheim.  
— 12 desgleichen pag. 445, daher.  
— 13 desgleichen pag. 446, Weisser Jura  $\varepsilon$ , daher.  
— 14 Nucleolites cf. gracilis pag. 446, Eisenoolith, Stafelegg.  
— 15 Nucleolites cf. dimidiatus pag. 446, Terrain à Chailles, Winkel.  
— 15.  $y$  Kieselnadeln pag. 447, daher.  
— 16—19 Nucleolites Hugii pag. 448, oberer Brauner Jura, Schweiz.  
— 20 Nucleolites excisus pag. 448, oberer Brauner Jura, Hummel.  
— 21 Nucleolites gibberulus pag. 449, Oxford. infer., Mamers.  
— 22 Nucleolites decollatus pag. 450, Brauner Jura  $\beta$ , Lauffen.  
— 23 Nucleolites Schuleri pag. 452, Brauner Jura  $\beta$ , Wasseralfingen.  
— 24 Nucl. cf. Schuleri pag. 453, Sowerby-Bank, Gingen.  
— 25. 26 Nucl. cf. decollatus pag. 453, Brauner Jura  $\delta$   $\varepsilon$ , Wasseralfingen.  
— 27. 28 Nucl. minimus pag. 454, Chloritische Kreide, Chardstock.  
— 29 Nucleolites trigonopyga pag. 454, daher.  
— 30 Nucleolites Olfersii pag. 455, Neocom, Champagne.  
— 31 desgleichen pag. 455, Hils, Berklingen.  
— 32 desgleichen pag. 455, Neocom, Neuchatel.  
— 33. 34 Pyrina pygaea pag. 456, Hilsconglomerat, Gross-Vahlberg.  
— 35.  $x$  desgleichen pag. 457, daher, vergrößerter Apex.  
— 36 desgleichen pag. 457, Hils, Berklingen: vergrößert  $x$  Apex,  $y$  Porenlauf,  $z$  Wäzchen.  
— 37—39 Nucleolites incisus pag. 457, chloritische Kreide, Chardstock.  
— 40 Nucleolites Duboisii pag. 458, Neocom, Bieler-See.  
— 41 Nucleolites ovulum pag. 459, Weisse Kreide, Tours.  
— 42 Nucleolites pyriformis pag. 460, Kieselkerne der Kreide von Achen.  
— 43. 44 desgleichen pag. 460, oberste Kreide, Maastricht.  
— 45 desgleichen pag. 461, daher, Inneres mit Kalkspathrhomboidern.  
— 46 Nucl. pyriformis gracilis pag. 462, daher.  
— 47 Nucl. pyriformis Leskei pag. 462, daher.

## Erklärung tab. 79.

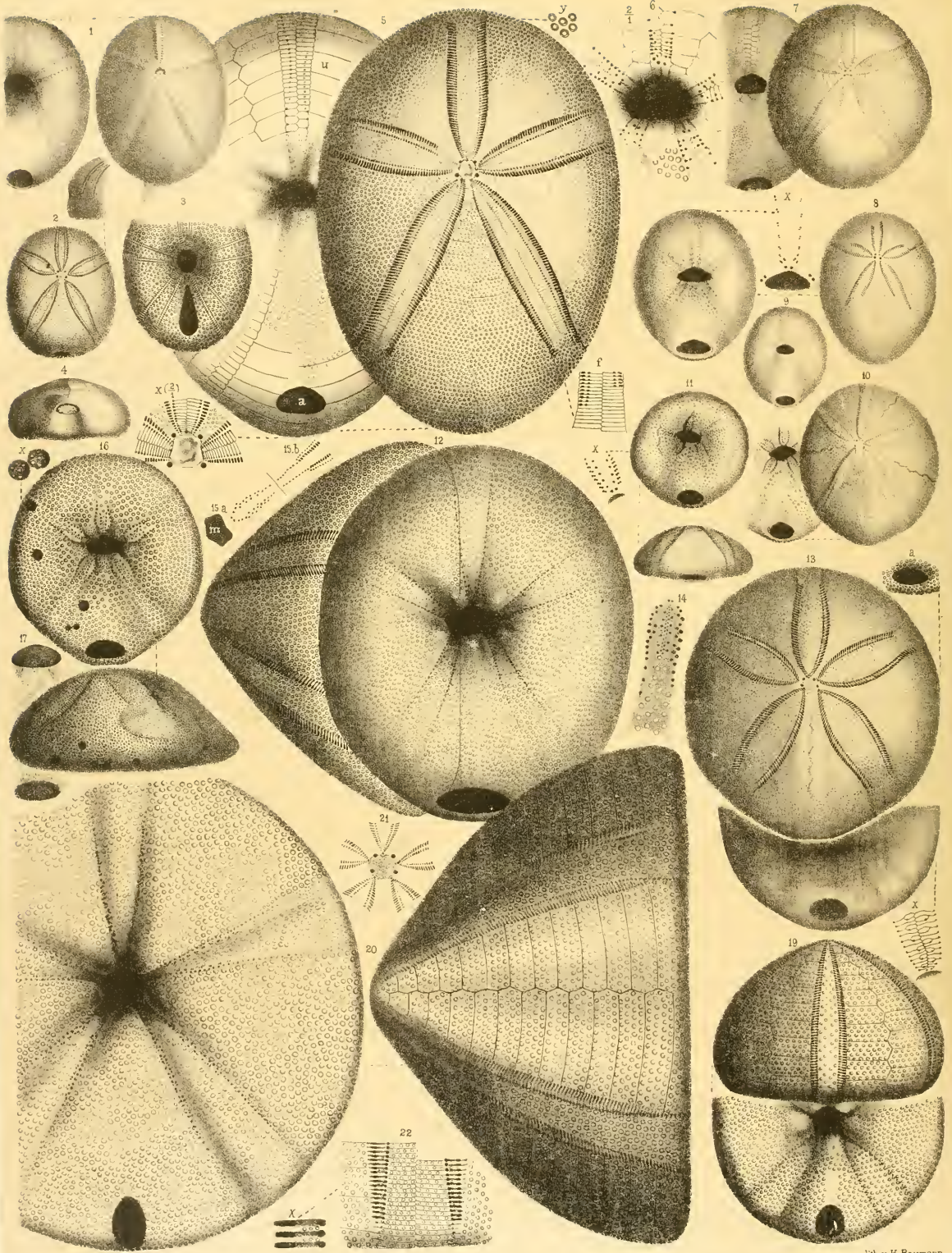
- Fig. 1 Nucleolites carinatus pag. 463, Chloritische Kreide, Vaches noires.  
— 2 desgleichen pag. 464, daher, Unterstück des vordern Fühlergangs vergrößert.  
— 3 desgleichen pag. 463, daher, *x* vergrößerter Fühlergang.  
— 4. 5 desgleichen pag. 464, Chloritische Kreide, Chardstock.  
— 6 desgleichen pag. 466, Tourtia, Essen.  
— 7 Cassidulus lapiscaneri pag. 467, oberste Kreide, Maastricht.  
— 8—11 desgleichen pag. 467, daher.  
— 12 Cassidulus Marmini pag. 468, daher, Copie.  
— 13 Cassidulus galeatus pag. 468, Senonien, Pyrenäen, verkleinerte Copie.  
— 14 Cassidulus scutella pag. 469, Nummulithenkalk, Verona.  
— 15 desgleichen pag. 470, daher, Apex.  
— 16. *x* desgleichen pag. 470, daher, vergrößertes Porenangstück auf der untern Grenze des Blattes.  
— 17—19 Cassidulus testudinarius pag. 472, Nummulithenkalk, Kressenberg.  
— 20 Cassidulus cf. ellipticus pag. 473, daher.  
— 21 Cassidulus Cuvieri pag. 470, daher.  
— 22 Cassidulus subcarinatus pag. 471, jüngeres Tertiär, Bünde.  
— 23 Pygurus Michelini pag. 474, Grande Oolite, Sarthe, Copie.  
— 24 Pygurus albojurensis pag. 475, Weisser Jura  $\epsilon$ , Nattheim.  
— 25 Pygurus cf. depressus pag. 475, Oberer Brauner Jura, Dorneck.  
— 26 Pygurus depressus pag. 476, Copie nach Desor.  
— 27 Clypeus suevicus pag. 476, Mittlerer Weisser Jura, Salmendingen.  
— 28 Galerites assulatus pag. 478, Diphyenkalk, Roveredo.  
— 29 Botriopygus testudo pag. 476, Neocom, Copie.  
— 30 Botriopygus Morloti pag. 477, Schrättenkalk, Glärnisch, Fühlergänge, Copie.  
— 31 Faujasia apicalis pag. 477, Oberste Kreide, Maastricht, Copie.  
— 32 Galerites assulatus pag. 479, Puchow, Porenstellung des vordern Fühlerganges.  
— 33 Pygaulus Desmoulinii pag. 480, Gault, Perte du Rhone.  
— 34 Pygaulus pulvinatus pag. 480, Chloritische Kreide, Chardstock.  
— 35 desgleichen pag. 481, daher, kleiner.  
— 36 Clypeaster ellipticus pag. 481, Nummulithenkalk, Verona.
-









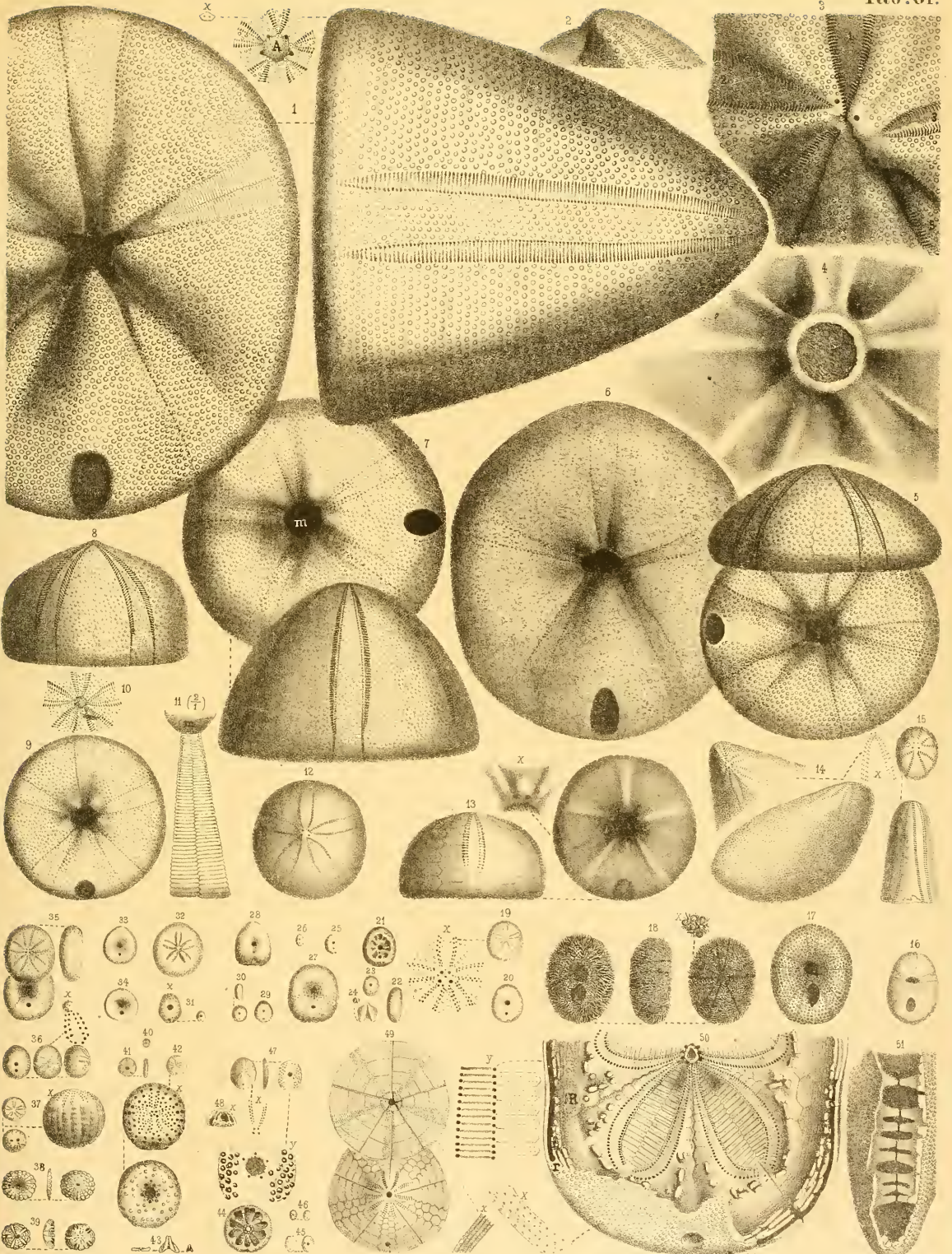


## Erklärung tab. 80.

- Fig. 1 Echinolampas ovatus pag. 485, Miliolitenkalk, Paris.  
— 2 Pygorhynchus Grignonensis pag. 484, Grobkalk, Copie.  
— 3 Amblypygus apheles pag. 484, Nummulithenkalk, Verona, Copie.  
— 4 Pygorhynchus Desorii pag. 485, Nummulithenkalk, Biarritz, Copie.  
— 5 Clypeaster politus pag. 486, Nummulithenkalk, Verona.  
— 6 desgleichen pag. 487, daher, Mund zweifach vergrößert.  
— 7 Clypeaster cf. affinis pag. 488, Nummulithenkalk, Zovizzo.  
— 8. 9 Echinolampas Mattseeensis pag. 489, Eocen, Mattsee.  
— 10. 11 Echinolampas affinis pag. 490, Grobkalk, Damery.  
— 12 Echinolampas medianus pag. 495, Nummulithenkalk, Kressenberg.  
— 13 Echinolampas Kleinii pag. 492, jungtertiär, Doberg.  
— 14 desgleichen pag. 492, vergrößertes Mundblatt, daher.  
— 15. a. b. desgleichen pag. 492, Fühlerporen von Innen, a Obertheil, b Untertheil, daher.  
— 16 desgleichen pag. 493, daher, krank.  
— 17 Echinolampas cf. Studeri pag. 494, Nummulithenkalk, Sonthofen, Mund und After.  
— 18 Echinolampas similis pag. 494, Nummulithenkalk, Verona.  
— 19 Conoclypus conoideus pag. 496, Nummulithenkalk, Kressenberg.  
— 20 desgleichen pag. 497, daher, erwachsen.  
— 21 desgleichen pag. 499, daher, Apex.  
— 22 desgleichen pag. 499, Nummulithenkalk, Verona, Stück des Unterrandes vom Ambulacrum, x vergrößert.
-

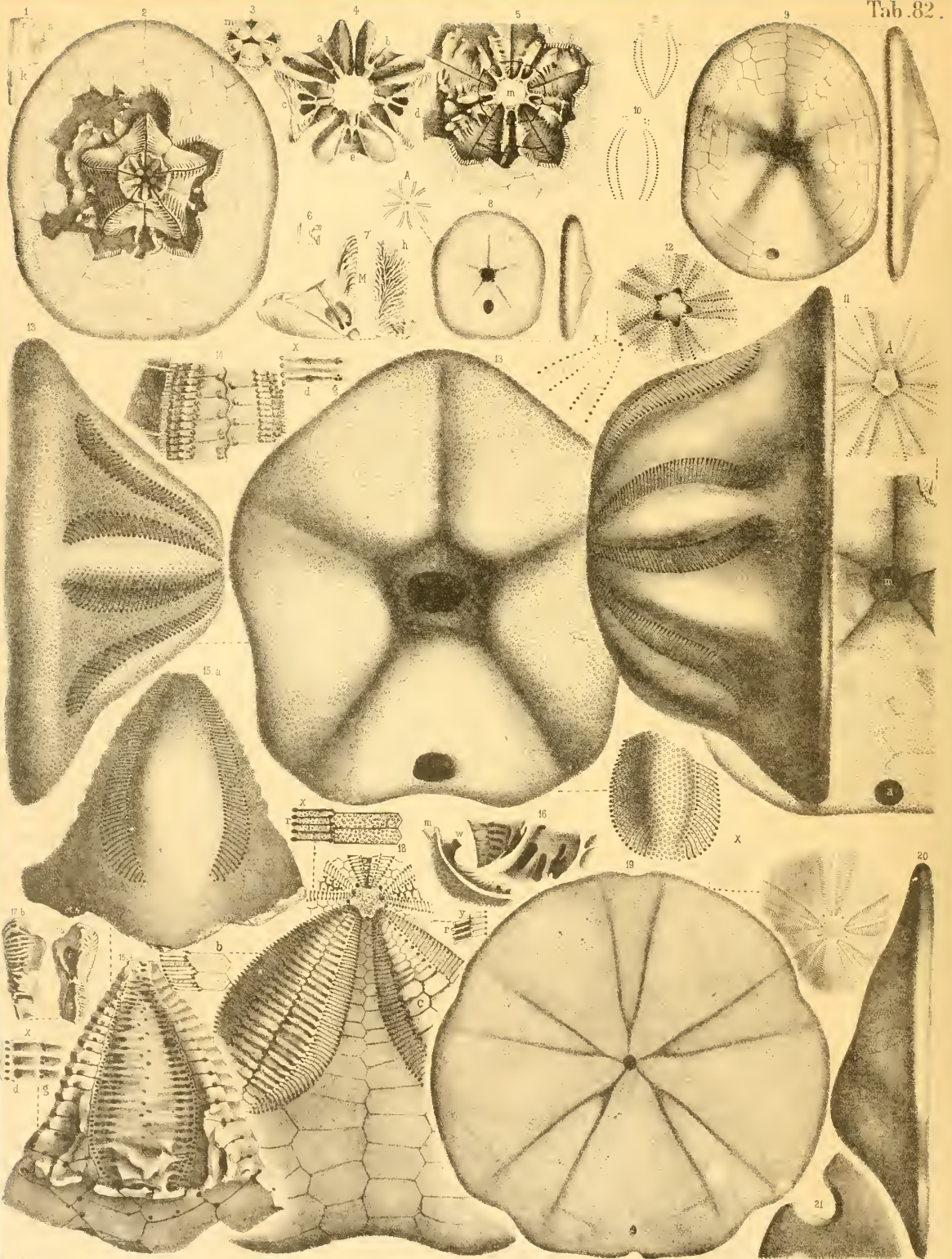
## Erklärung tab. 81.

- Fig. 1 Conoclypus conoideus ellipsobasalis pag. 502, Nummulithenkalk, Verona.  
 — 2 Conoclypus conoideus conioexcentricus pag. 502, Nummulithenkalk, Oberitalien, Copie der Spitze.  
 — 3 Conoclypus conoideus pag. 501, Nummulithenkalk, Kressenberg, Gipfel.  
 — 4 desgleichen pag. 500, Nummulithenkalk, Gichilina, Innenseite der Basis.  
 — 5 Clypeaster Bouei pag. 504, Nummulithenkalk, Kressenberg.  
 — 6 Clypeaster oopyge pag. 505, Nummulithenkalk, Kressenberg.  
 — 7 Conoclypus conoideus Algoviensis pag. 504, Eocen, Sonthofen.  
 — 8 Clypeaster subcylindricus pag. 507, Nummulithenkalk, Kressenberg.  
 — 9 desgleichen pag. 506, daher, Unterseite eines mittelgrossen.  
 — 10 desgleichen pag. 507, daher, Apex.  
 — 11 desgleichen pag. 506, daher, abgekratzter Fühlergang, 2fach vergrößert.  
 — 12 desgleichen pag. 507, daher, kleines Individuum, etwas verdrückt.  
 — 13 Clypeaster bipunctatus pag. 507, gelber Steinkern.  
 — 14 Archiacia sandalina pag. 508, Chloritische Kreide, Fourras, Copie.  
 — 15 Archiacia cornuta pag. 508, Kreide, Sinai, Copie.  
 — 16 Echinoneus cyclostomus pag. 511, lebend, Copie nach Seba.  
 — 17 desgleichen pag. 511, lebend, Copie nach Desor.  
 — 18 Echinoneus ovalis pag. 511, lebend, Barbadoes.  
 — 19—22 Fibularia minuta pag. 512, lebend in der Nordsee.  
 — 23 Fibularia pusilla pag. 513, lebt an der norwegischen Küste.  
 — 24 Fibularia minuta pag. 513, lebend, ein Zahn.  
 — 25. 26 Echinoneus ovatus pag. 514, jungtertiär, Astrupp, Copie.  
 — 27 Echinoneus scutatus pag. 514, jungtertiär, Bünde, Copie.  
 — 28 Echinoneus placenta pag. 514, oberste Kreide, Maastricht, Copie.  
 — 29. 30 Echinoneus minutus pag. 514, Maastricht?  
 — 31 Fibularien-Brut pag. 514, Miocän, Paris.  
 — 32. 33 Fibularia rosacea pag. 515, Nummulithenkalk, Priabona.  
 — 34 desgleichen pag. 515, Nummulithenkalk, Monti Berici.  
 — 35 Fibularia occitana pag. 515, Grobkalk, Paris.  
 — 36 Fibularia ovulum pag. 516, lebend.  
 — 37 Fibularia nucleus-cerasi pag. 517, lebend, Copie.  
 — 38 Moulinsia cassidulina pag. 517, lebend, Martinique, Copie.  
 — 39 Runa Comptoni pag. 517, jungtertiär, Palermo, Copie.  
 — 40—42 Fibularia nummularia pag. 518, Grobkalk, Grignon.  
 — 43 Kiefer pag. 519 von demselben, Copie.  
 — 44 Scutella lenticularis pag. 519, Grobkalk, Grignon, Copie.  
 — 45—48 Fibularia patellaris pag. 519, Grobkalk, Paris.  
 — 49 Arachnoides placenta pag. 521, lebend in Australien.  
 — 50 Clypeaster rosaceus pag. 527, lebend, Inneres des Hintertheils der Oberseite; *x* vergrößerte Porenreihen oben von der Innenseite.  
 — 51 desgleichen pag. 527, zerbrochener Seitenrand, um die Kalksäulen zu zeigen.









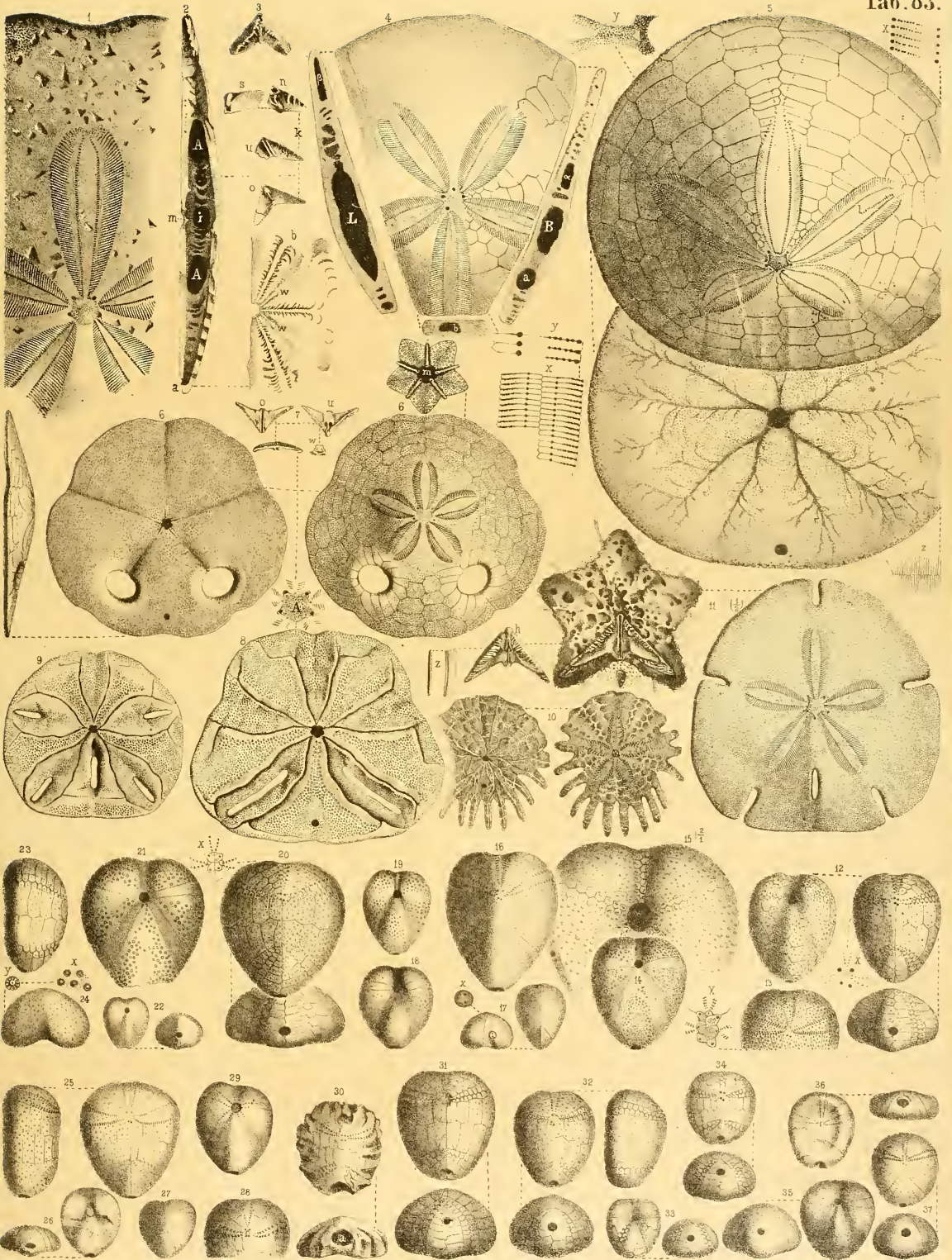


## Erklärung tab. 82.

- Fig. 1 Clypeaster rosaceus pag. 529, lebt im indischen Meere: Zahn von drei Ansichten.  
— 2 desgleichen pag. 529, Laterne von oben bloßgelegt.  
— 3 desgleichen pag. 529, vergrößerte Zähne im Munde *m*.  
— 4 desgleichen pag. 530, Laternenstück von der Unterseite.  
— 5 desgleichen pag. 530, Innenseite des Mundes *m*, nach weggenommener Laterne.  
— 6 desgleichen pag. 529, Ergänzungsstück von der Laterne.  
— 7 desgleichen pag. 529, Laternenstück: *h* Harmoniefläche, der *M* entsprechend, welche in der Medianebene liegt.  
— 8 Laganum Bonani pag. 531, lebend, *A* Apex.  
— 9 Clypeaster scutiformis pag. 531, Alttertiär, Monti Berici.  
— 10 desgleichen pag. 532, Alttertiär, Priabona, Stück eines Blumenblatts.  
— 11 Clypeaster altus campanulatus pag. 538, Tertiär, Monza: *m* Mund, *a* After, *A* Apex.  
— 12 Clypeaster grandiflorus pag. 540, Gipfel einer Blume, Leithakalk, Kalksburg.  
— 13 Clypeaster altus conicus pag. 534, Wien?  
— 14 desgleichen pag. 537, Steinkern, Selowitz, Stück eines Blumenblatts.  
— 15 Clypeaster Egyptiacus pag. 535, Alttertiär, Egypten, Ambulacrum von innen *i* und aussen *a*.  
— 16 desgleichen pag. 535, daher, Mundende eines Ambulacralstücks, Copie.  
— 17 desgleichen pag. 538, daher, Hälfte eines Hauptstücks der Laterne.  
— 18 Clypeaster grandiflorus pag. 540, Leithakalk, Rietzing.  
— 19 Scutella Vindobonensis pag. 542, Leithakalk, isabellgelb, Rietzing?  
— 20 desgleichen pag. 542, daher, Seitenansicht.  
— 21 desgleichen pag. 543, daher, Stück mit einer tiefen Bucht, die nur ein einziges Mal seitlich vorn links auftritt.
-

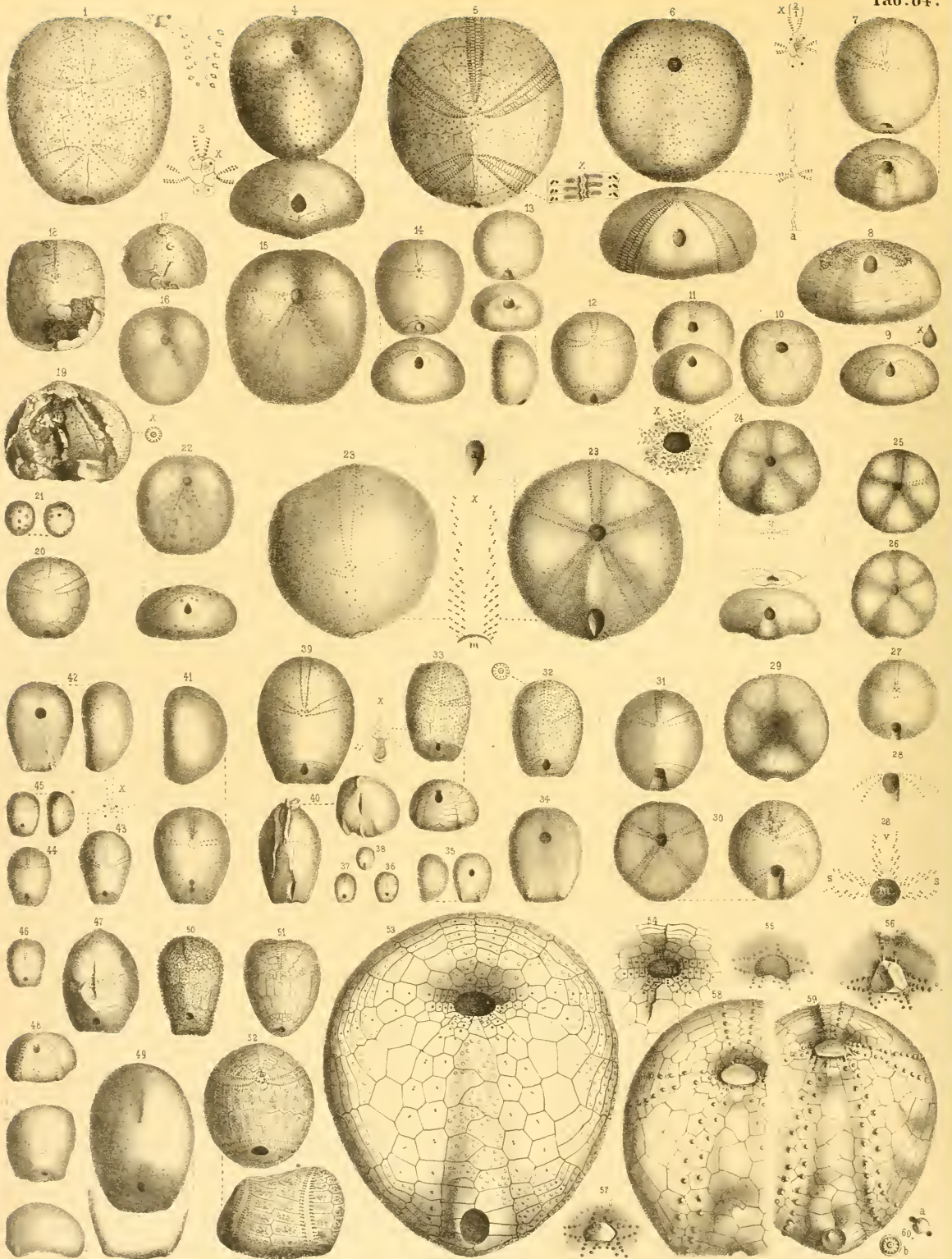
## Erklärung tab. 83.

- Fig. 1 Scutella Vindobonensis pag. 543, Neogen, Kalksburg.  
 — 2 Scutella subrotunda pag. 544, Miocen, Bordeaux: *a* Querschnitt; *b* Mundfläche von innen; *k* Kieferstücke.  
 — 3 desgleichen pag. 545, Miocen, Kiefer von unten, Copie.  
 — 4 Scutella cf. Brongniarti pag. 545, Eocen, Verona.  
 — 5 Scutella excentrica pag. 547, lebend, Stiller Ocean.  
 — 6 Amphiope bioculata pag. 549, Miocen, Meeresmolasse, Dischingen.  
 — 7 Lobophora bifora pag. 550, lebend, Kieferstück: *u* Unter-; *o* Oberseite; *w* Wirbel.  
 — 8 desgleichen pag. 550, von unten, *A* vergrößerter Apex.  
 — 9 Mellita quinquefora pag. 550, lebend, Texasküste.  
 — 10 Rotula Rumphii pag. 553, lebend, Copie.  
 — 11 Encope emarginata pag. 551, lebend, Antillen, halbe Grösse.  
 — 12 Disaster carinatus pag. 559, Weisser Jura  $\gamma$ , Schwäbische Alp.  
 — 13 desgleichen pag. 560, Weisser Jura  $\delta$ , Alp, *x* vergrößerter Apex.  
 — 14 desgleichen pag. 561, Oberster Weisser  $\gamma$ , Tuttlingen.  
 — 15 desgleichen pag. 561, zweifach vergrößert.  
 — 16 desgleichen pag. 562, Weisser Jura  $\gamma$ , Salmendingen.  
 — 17 desgleichen pag. 562, Weisser Jura, kranke Poren, *x* vergrößert.  
 — 18 desgleichen pag. 562, daher.  
 — 19 desgleichen pag. 562, Weisser Jura  $\gamma$ , Bosler.  
 — 20 desgleichen pag. 562, Mittlerer Weisser Jura.  
 — 21 desgleichen pag. 563, Mittlerer Weisser Jura, Heidenstadt.  
 — 22 Disaster carinatus  $\varepsilon$  pag. 563, Weisser Jura  $\varepsilon$ , Ehrenstein.  
 — 23 Disaster carinatus pag. 563, Seitenansicht, Normalform.  
 — 24 desgleichen pag. 563, Vorderansicht.  
 — 25 Disaster cf. capistratus pag. 564, Mittlerer Weisser Jura.  
 — 26 Disaster carinatus pag. 564, Weisser Jura  $\varepsilon$ , Nattheim.  
 — 27—29 desgleichen pag. 564, Weisser Jura  $\varepsilon$ , Krumbach.  
 — 30 desgleichen pag. 564, daher, verdrückt.  
 — 31 Disaster platypygus pag. 565, Weisser Jura.  
 — 32 desgleichen pag. 565, Weisser Jura.  
 — 33 desgleichen pag. 565, Weisser Jura  $\alpha$ , Boll.  
 — 34 desgleichen pag. 566, daher.  
 — 35 Disaster capistratus pag. 566, Brauner Jura  $\zeta$ , Margarethhausen.  
 — 36 Disaster siliceus pag. 566, Weisser Jura  $\varepsilon$ , Nattheim, verdrückt.  
 — 37 desgleichen pag. 566, daher.









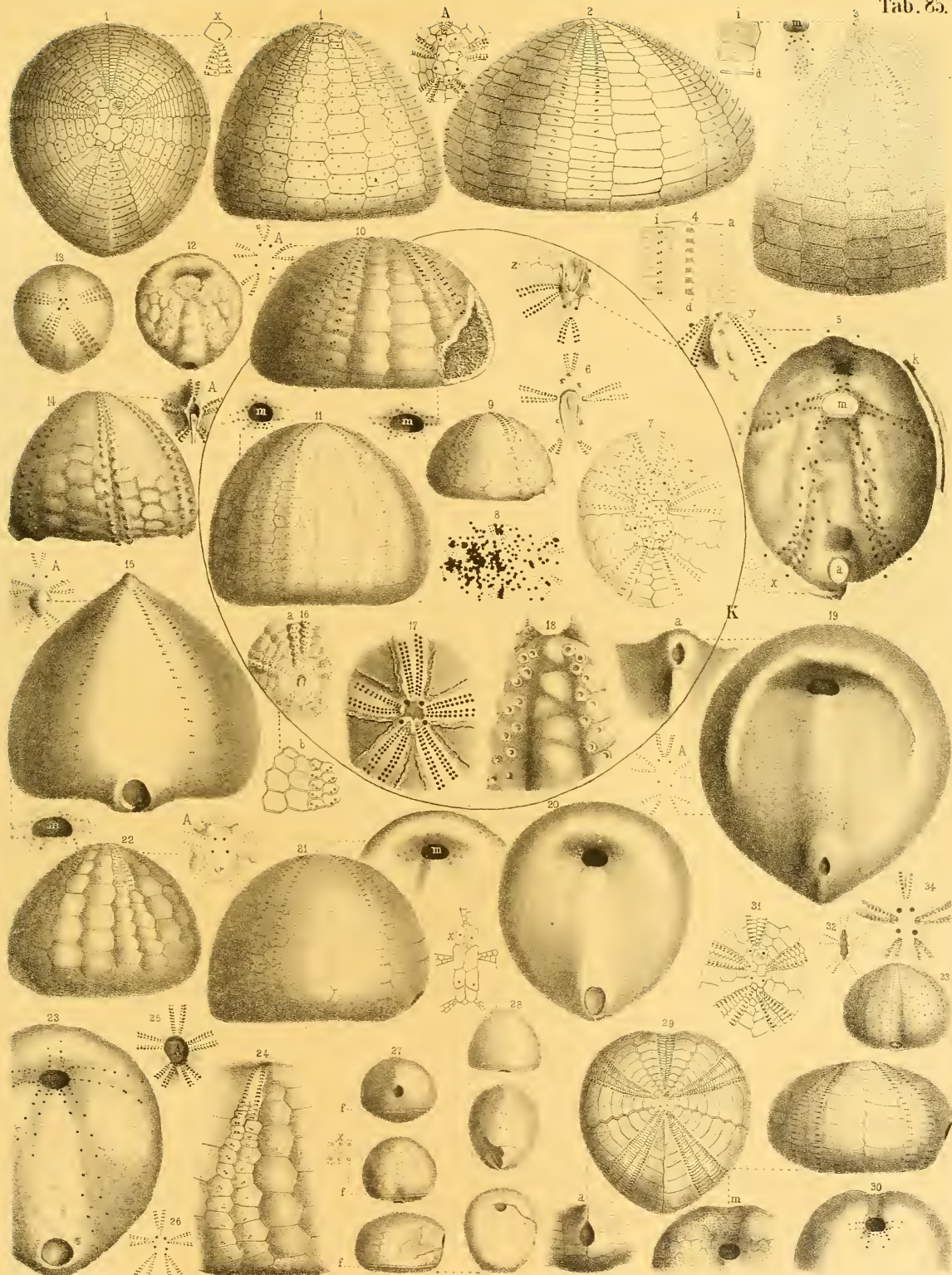
## Erklärung tab. 84.

- Fig. 1 Disaster bicordatus pag. 568, Terrain à Chailles, Mont Terrible.  
 — 2 desgleichen pag. 568, Terrain à Chailles, Fringeli: vergrösserte Poren des vordern Fühlerganges.  
 — 3 desgleichen pag. 569, Terr. à Chailles, Kl.Lützel: vergrösserte Genitalplatten.  
 — 4 desgleichen pag. 568, Terr. à Chailles, Fringeli.  
 — 5 Disaster ellipticus pag. 569, Kelloway, Sarthe,  $x$  Stück vergrösserten Fühlerganges.  
 — 6 desgleichen pag. 570, daher,  $x$  zweifach vergrösserte Zwickelplatten.  
 — 7 Disaster ovalis pag. 571, Brauner Jura  $\varepsilon$ , Egg.  
 — 8 desgleichen pag. 572, daher, grosses Exemplar.  
 — 9 desgleichen pag. 572, daher, niedrige Varietät.  
 — 10 Disaster ovalis var. pag. 572, Oberer Brauner Jura, Balu,  $x$  vergrösserte Mundporen.  
 — 11 desgleichen pag. 572, daher.  
 — 12 desgleichen pag. 572, daher.  
 — 13 Disaster Avellana pag. 573, Polypenkalk, Ranville.  
 — 14 Disaster ovalis pag. 573, Macrocephalussoolith, Achdorf.  
 — 15 desgleichen pag. 573, daher.  
 — 16 desgleichen pag. 573, Macrocephalusoolith, Fuezen.  
 — 17—19 Disaster cf. ovalis pag. 574, Ornatenthon, Gammelshausen.  
 — 20—22 Disaster ov. macrocephali pag. 574, Macrocephalusoolith, Gutmadigen.  
 — 23 Disaster Voltzii pag. 575, Oberer Jura, Provence.  
 — 24 Disaster ringens pag. 576, Macrocephalusoolith, Achdorf.  
 — 25 desgleichen pag. 577, Brauner Jura  $\varepsilon$ , Geyern.  
 — 26 desgleichen pag. 577, Brauner Jura  $\delta$ , Röthlüh.  
 — 27 desgleichen pag. 577, daher, Afteransicht vergrössert.  
 — 28 desgleichen pag. 577, daher, vergrösserter Mund,  $v$  vorn,  $s$  seitlich.  
 — 29 Disaster cf. ringens pag. 578, rother Klippenkalk, Puchow.  
 — 30 Disaster canaliculatus pag. 578, Brauner Jura  $\delta$ , Wasseralfingen.  
 — 31 Disaster cf. canaliculatus pag. 578, Oberer Brauner Jura, Hummel.  
 — 32 Disaster granulosa pag. 579, Weisser Jura  $\alpha$ , Alp.  
 — 33 desgleichen pag. 580, daher,  $x$  vergrösserter After.  
 — 34 desgleichen pag. 580, daher, Unterseite.  
 — 35. 36 Disaster granulosa pag. 580, unterster Weisser Jura  $\alpha$ , Böllert.  
 — 37. 38 desgleichen pag. 580, Brut, unterer Weisser Jura, Ries.  
 — 39 Disaster granulosa pag. 581, Weisser Jura  $\alpha$ , Bopfingen.  
 — 40 Disaster cf. granulosa pag. 581, Macrocephalusoolith, Gutmadigen.  
 — 41 Disaster granul. inflatus pag. 581, Weisser Jura  $\gamma$ , Salmendingen.  
 — 42 Disaster granulosa  $\varepsilon$  pag. 582, Weisser Jura  $\varepsilon$ , Alp.  
 — 43 Disaster granul. angustus pag. 582, Weisser Jura  $\varepsilon$ , Ehrenstein.  
 — 44 Disaster granulosa pag. 582, mittlerer Weisser Jura, Bopfingen.  
 — 45 desgleichen pag. 582, Weisser Jura  $\gamma$ , Alp.  
 — 46 Disaster granulosa pag. 582, Weisser Jura  $\varepsilon$ , Nattheim.  
 — 47. 48 desgleichen pag. 582, Weisser Jura  $\zeta$ , Sigmaringen.  
 — 49 Disaster anasteroides pag. 583, Neocom, Südfrankreich.  
 — 50 Disaster subelongatus pag. 584, Neocom, Copie.  
 — 51 Disaster oblongus pag. 584, Neocom, Copie.  
 — 52 Metaporhinus Sarthacensis pag. 585, Forestmarble, Copie.  
 — 53 Ananchites ovatus pag. 589, Pläner, Lemförde. Nicht durch den Spiegel gezeichnet. Auch die einfachen Punkte bedeuten natürlich Doppelpunkte, da es schwer hält, solche feinen Sachen bestimmt zu geben.  
 — 54 desgleichen pag. 589, Pläner, Lemberg, nicht durch den Spiegel gezeichnet; dasselbe tab. 85 fig. 2 von der Seite.  
 — 55 desgleichen pag. 589, Weisse Kreide, Meudon. Nicht durch den Spiegel gezeichnet.  
 — 56 desgleichen pag. 591, Feuersteinkern, Kröplin, nicht durch den Spiegel gezeichnet.  
 — 57 desgleichen pag. 589, Weisse Kreide, Rügen, durch den Spiegel gezeichnet.  
 — 58. 59 desgleichen pag. 590, Feuersteinkern, Mecklenburg, nicht durch den Spiegel gezeichnet.  
 — 60 desgleichen pag. 588, vergrössert:  $a$  Schlauchwärtchen,  $b$  Stachelwärtchen.

## Erklärung tab. 85.

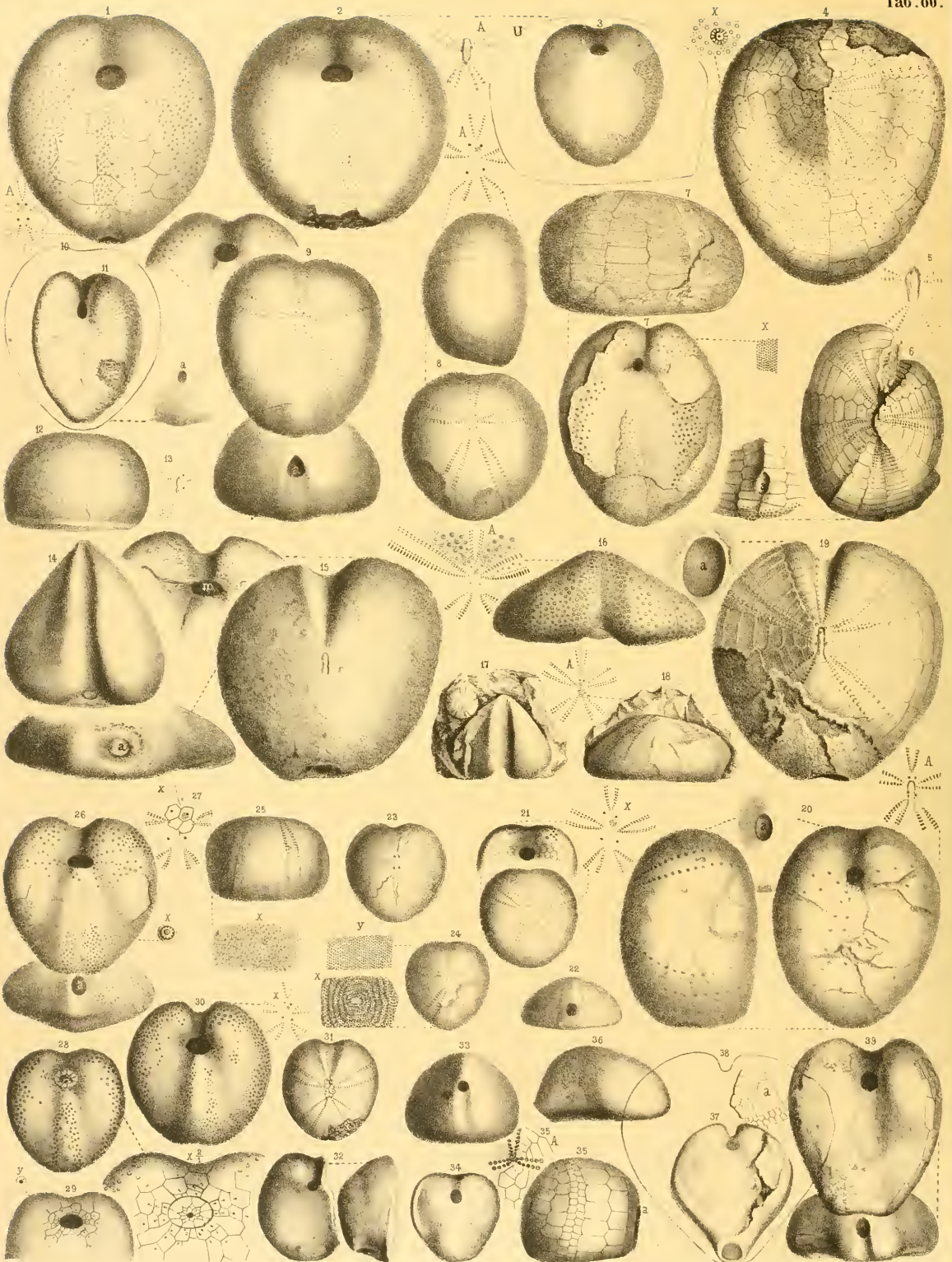
- Fig. 1 Ananchites gibba pag. 591, Weisse Kreide, Yonne.  
 — 2 Ananchites ovatus pag. 591, Pläner, Lemberg.  
 — 3 Ananchites assulatus pag. 592, Weisse Kreide, Lüneburg: *i* Asseln von der Innenseite, *m* Mund.  
 — 4 Ananchites ovatus pag. 593, Weisse Kreide, Surrey: *i* innen, *a* aussen, *d* Dicke der Schale.  
 — 5 desgleichen pag. 593, Weisse Kreide, Meudon: von innen, *z* Scheitel, *x* Löcher von Vio.  
 — 6 desgleichen pag. 594, Steinkern, Satow, Abdruck des Apex.  
 — 7 desgleichen pag. 594, Weisse Kreide, Rügen, Apex mit angebohrten Löchern, äusserer Umriss halb natürliche Grösse.  
 — 8 desgleichen pag. 594, daher, von Vio Ananchites angebohrt.  
 — 9 Ananchites nodosus pag. 595, Kreideformation, Satow.  
 — 10 Ananchites sulcatus pag. 597, Kreide, Satow; *m* Mund, *A* Apex.  
 — 11 Ananchites striatus pag. 598, Kreide, Rügen; *m* Mund nicht durch den Spiegel gezeichnet.  
 — 12 Ananchites cf. sulcatus pag. 596, Steinkern, Mecklenburg.  
 — 13 Galeola papillosa pag. 595, Steinkern, Mark.  
 — 14 Ananchites modicus pag. 596, Steinkern, Mecklenburg, *A* Apex.  
 — 15 Ananchites peronicus pag. 599, Weisse Kreide, Rügen, *A* Apex, *m* Mund.  
 — 16 Ananchites cf. peronicus pag. 599, Feuerstein, Lüneburg.  
 — 17 Ananchites acuminatus pag. 599, Steinkern, Kröplin.  
 — 18 Ananchites pustulosus pag. 597, Steinkern, Lüneburg.  
 — 19 Ananchites acuminatus pag. 598, Pläner, Neinstedt, *A* Apex.  
 — 20 Ananchites ovatus pag. 601, Weisse Kreide, Lüneburg.  
 — 21 Ananchites gibba pag. 601, daher, *m* Mundseite.  
 — 22 Ananchites tuberculatus pag. 601, Scaglia, Oberitalien, *A* Apex.  
 — 23 desgleichen pag. 602, Scaglia, Chiampo.  
 — 24 desgleichen pag. 603, daher, Stück der Asselreihen.  
 — 25 desgleichen pag. 603, daher, Apex mit ausgefallenen Plättchen.  
 — 26 desgleichen pag. 603, daher, Apex eines kleinen.  
 — 27 Ananchites pillula pag. 606, Kreide, Lüneburg: *x* vergrösserte Fasciole.  
 — 28 desgleichen pag. 607, Weisse Kreide, Meudon: *x* Copie nach Orbigny.  
 — 29 Holaster subglobosus pag. 608, Chloritische Kreide, Chardstock.  
 — 30 desgleichen pag. 608, daher, Mundseite.  
 — 31 desgleichen pag. 609, daher, vergrösserter Apex.  
 — 32 desgleichen pag. 609, daher, Apex eingedrückt.  
 — 33 desgleichen pag. 609, daher, Vorderansicht.  
 — 34 Holaster cf. subglobosus pag. 609, Steinkern, St. Julien.  
 — K Umriss des grössten Ananchiten pag. 600, Feuersteinkern, Warnemünde.









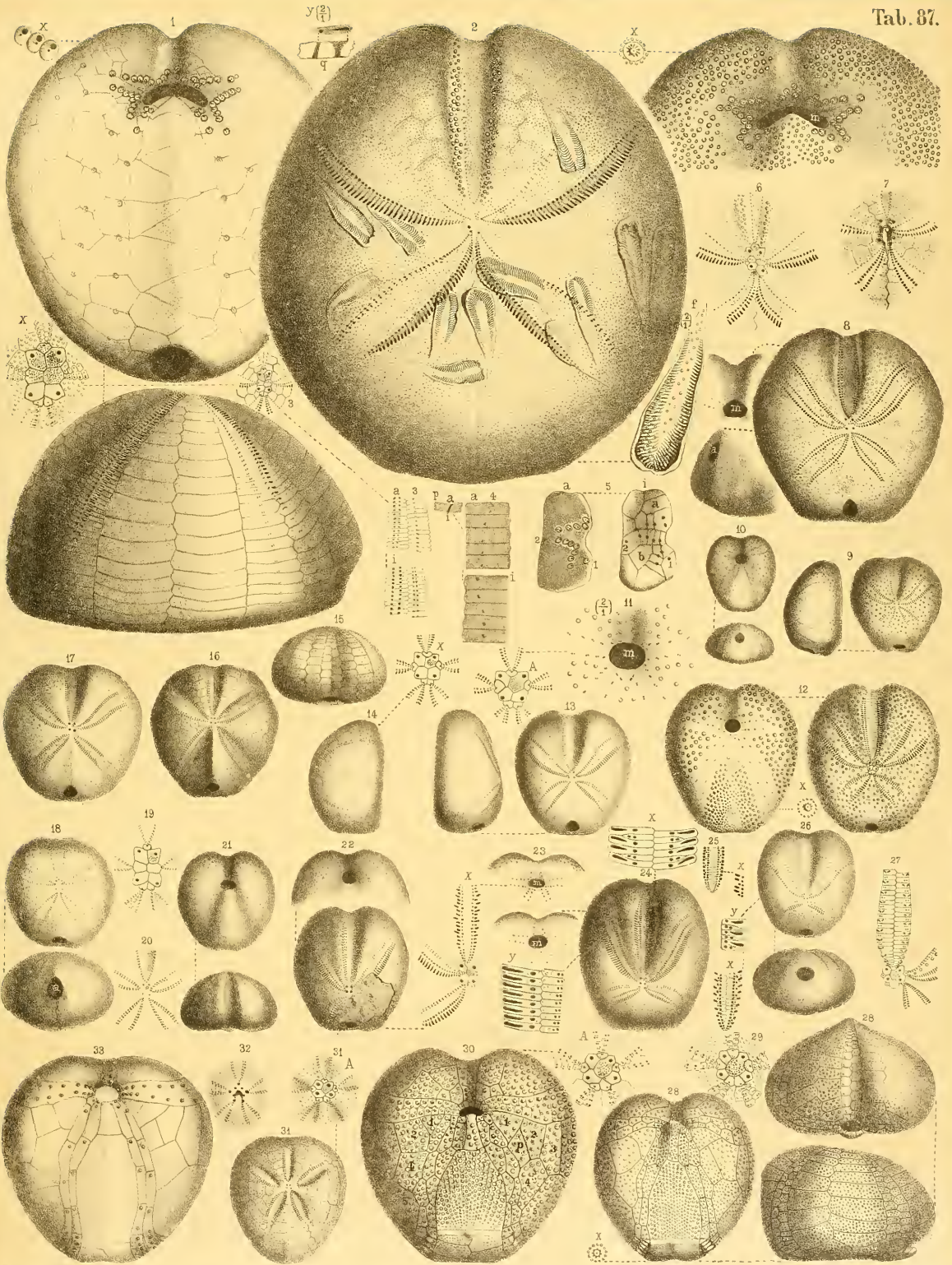


## Erklärung tab. 86.

- Fig. 1 Holaster carinatus pag. 609, Chloritische Kreide, Chardstock; *A* Apex.  
 — 2 Spatangus cf. subglobosus pag. 610, Pläner, Oppeln, *U* Umriss der Höhe.  
 — 3 Spatangus cf. subglobosus pag. 610, daher.  
 — 4 Spatangus cf. planus pag. 611, daher.  
 — 5 desgleichen pag. 611, daher, Apex.  
 — 6 desgleichen pag. 612, Pläner.  
 — 7 desgleichen pag. 612, Pläner, Oppeln.  
 — 8 Spatangus cf. subglobosus pag. 613, Pläner, Suderode, *A* vergrößerter Apex.  
 — 9 Holaster hercynius pag. 613, Pläner, Quedlinburg.  
 — 10 Holaster angulatus pag. 613, Pläner, Suderode, Umriss.  
 — 11 desgleichen pag. 614, daher, verdrückt.  
 — 12 desgleichen pag. 614, daher, Seitenansicht.  
 — 13 desgleichen pag. 614, daher, Apex.  
 — 14 Infalaster Krausei pag. 614, Pläner, Halberstadt, nach einem Gypsmodell von vorn.  
 — 15 Holaster cf. bicarinatus pag. 615, oberster Quader, Steinholz, Steinkern.  
 — 16 Cardiaster bicarinatus pag. 615, Kreide, Aachen, *A* Apex vergrößert.  
 — 17 Spatangus cf. lacvis pag. 618, Kreide, Mecklenburg, eine Salenia daneben.  
 — 18 desgleichen pag. 618, Kreidehornstein, Aachen.  
 — 19 Spatangus cf. Ananchitis pag. 616, Kreidehornstein, Mecklenburg.  
 — 20 Spatangus cf. angulatus pag. 617, Kreidefeuerstein, Lüneburg; *a* After.  
 — 21 Holaster lacvis pag. 618, Gault, Perte du Rhône, *x* Apex vergrößert.  
 — 22 desgleichen pag. 619, daher, Ansicht von hinten.  
 — 23 Holaster lacvis pag. 620, Gault, Dent de Midi.  
 — 24 Holaster lacvis pag. 620, Gault, Dent de Midi: *x* vergrößerte Schalentextur; *y* Asselschuppen.  
 — 25 Holaster altus pag. 620, Cenoman, Sämtis: *x* vergrößerte Textur verwitterter Schalen.  
 — 26 Holaster Perezii pag. 621, Gault, Escagnolles.  
 — 27 desgleichen pag. 621, daher, vergrößerter Apex.  
 — 28 Holaster Cenomanensis pag. 621, Chloritische Kreide, Rouen, *x* Mundasseln vergrößert.  
 — 29 desgleichen pag. 622, daher, *y* vergrößertes Porenpaar.  
 — 30 desgleichen pag. 623, daher.  
 — 31 desgleichen pag. 623, Chloritische Kreide, Chardstock.  
 — 32 Holaster nasutus pag. 626, Scaglia, Chiampo.  
 — 33 Disaster pillula pag. 624, Diphyenkalk, Roveredo.  
 — 34 desgleichen pag. 625, daher.  
 — 35 desgleichen pag. 625, daher, Seitenansicht: links Mund, rechts After.  
 — 35. *A* desgleichen pag. 625, daher, Apex, worin die drei vordern Fühlergänge zusammentreten.  
 — 36 Disaster caudatus pag. 624, Diphyenkalk, Roveredo.  
 — 37 desgleichen pag. 624, daher.  
 — 38 desgleichen pag. 624, daher, Umriss eines grossen Exemplars, bei *a* mit einem Stück Asseln in seiner natürlichen Lage.  
 — 39 cf. Cardiaster Italicus pag. 625, Scaglia, Chiampo.

## Erklärung tab. 87.

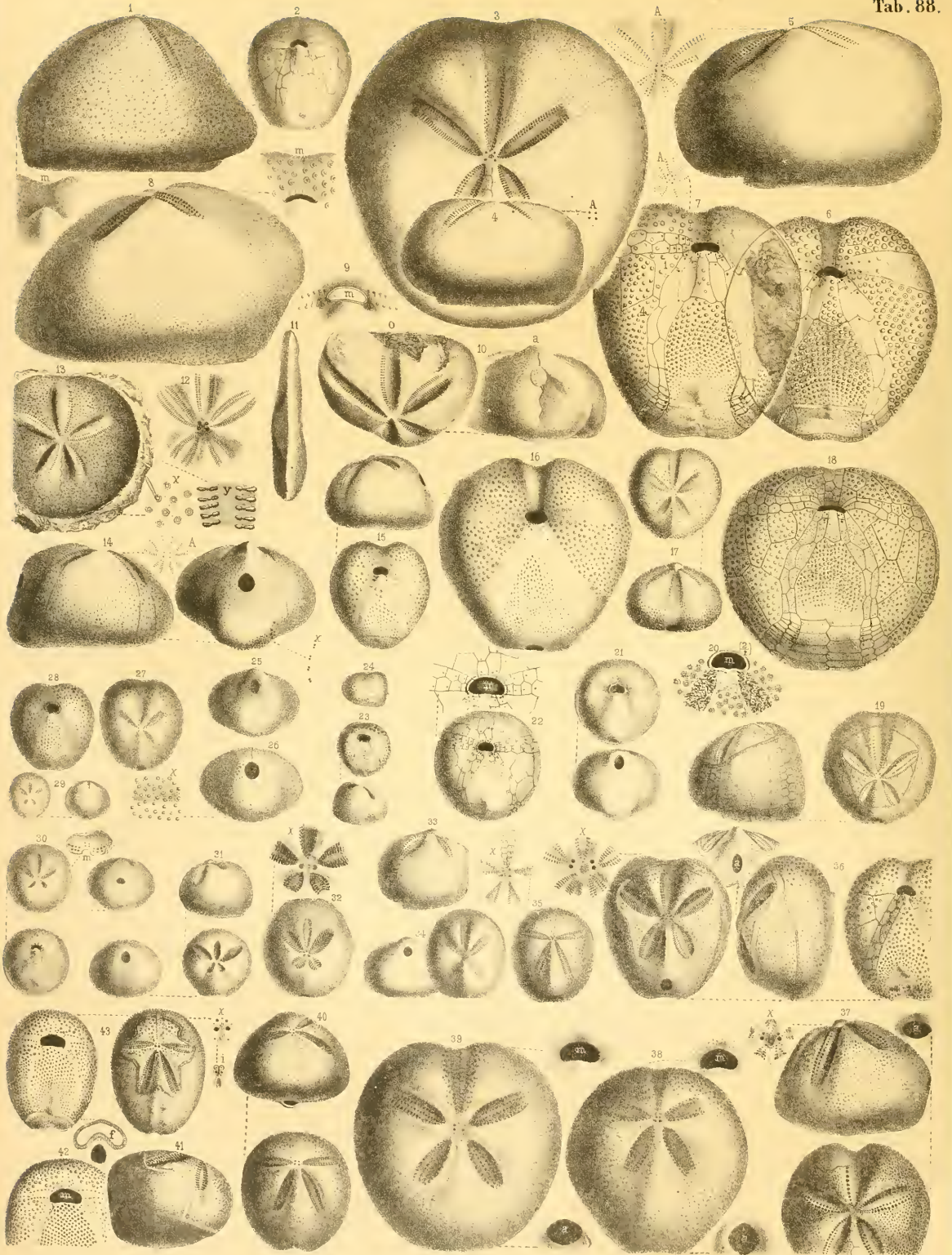
- Fig. 1 Spatangus (Hemipneustes) radiatus pag. 626, oberste Kreide, Maastricht: *x* vergrößertes Schlauchwürzchen.
- 2 desgleichen pag. 632, daher, mit Foliopora radiata, *f* zweifach vergrößert, *m* Mund, *x* vergrößertes Stachelwürzchen; *y* vergrößerte Fühlerporen mit Querschliß *q*.
- 3 desgleichen pag. 628, daher, Apex, *x* vergrößert; Schalenstück *a* Aussen-, *i* correspondirende Innenseite.
- 4 desgleichen pag. 628, daher, Schalenstücke; *a* aussen, *i* innen, *p* Querschnitt.
- 5 desgleichen pag. 629, daher, Mundstück: *i* innen durch den Spiegel, *a* aussen nicht durch den Spiegel; *m* Mundrand.
- 6 desgleichen pag. 630, daher, Apex.
- 7 desgleichen pag. 631, daher, Apex von Innen.
- 8 Toxaster cf. Verany pag. 637, verkieselt, Neocom, Savoyen: *m* Mund, *a* After.
- 9 Toxaster complanatus pag. 636, Neocom, Auxerre.
- 10 desgleichen pag. 636, daher, junges Exemplar.
- 11 desgleichen pag. 635, daher: *m* vergrößerter Mund, *A* Apex.
- 12 Toxaster complanatus pag. 634, Neocom, Neuchatel: *x* vergrößerte Stachelwarze.
- 13 desgleichen pag. 636, daher.
- 14 Toxaster complanatus altus pag. 636, Neocom, Provence, *x* vergrößerter Apex.
- 15 desgleichen pag. 637, daher, Stirnansicht.
- 16 Toxaster compl. floescens, pag. 637, daher.
- 17 Toxaster complanatus pag. 637, Unteres Hilsconglomerat, Berklingen.
- 18 Holaster l'Hardy pag. 638, Unteres Hilsconglomerat, Berklingen.
- 19 desgleichen pag. 639, daher, vergrößerter Apex.
- 20 Holaster cf. l'Hardy pag. 639, Neocom, Auxerre, Apex.
- 21 desgleichen pag. 639, daher, kleineres abgeriebenes Stück.
- 22 Spatangus (Heteraster) oblongus pag. 639, unter dem Gault, Perte du Rhône.
- 23 desgleichen pag. 640, daher, *x* vergrößerter Apex.
- 24 desgleichen pag. 640, schwarzer Schrättkalk (Aptien), Sântis: *x* vergrößertes Stück des vordern Fühlergangs, *y* des seitlichen.
- 25 desgleichen pag. 640, daher, vorderer Fühlergang.
- 26 Toxaster cf. oblongus pag. 641, Neocom, Provence: *x* vorderer Fühlergang vergrößert; *y* Stück desselben stark vergrößert.
- 27 Ennallaster Greenovii pag. 641, Cenoman, vorderer Fühlergang, Copie.
- 28 Spatangus (Micraster) cor-anguinum pag. 644, Weisse Kreide, Lüneburg.
- 29 desgleichen pag. 642, daher, Apex vergrößert.
- 30 Spatangus cor-testudinarium pag. 646, Weisse Kreide, Villedieu.
- 31 desgleichen pag. 647, Pläner, Strehlen, *A* vergrößerter Apex.
- 32 Spatangus cor-anguinum pag. 648, Weisse Kreide, Satow, Apex von innen.
- 33 Spatangus cor-anguinum pag. 648, Kreide, Feuersteinkern, St. Julien du Sault.









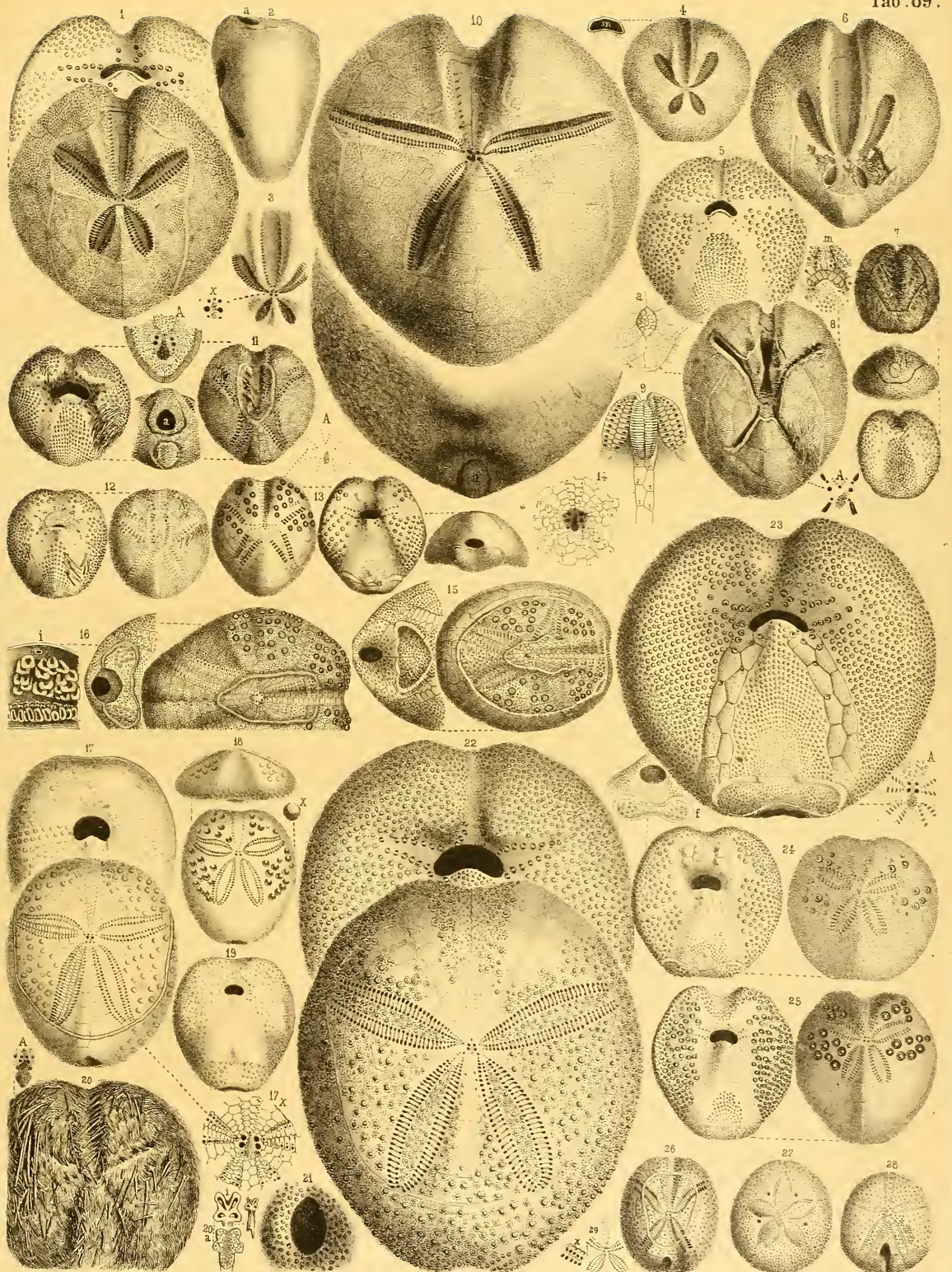


## Erklärung tab. 88.

- Fig. 1 *Micraster gibbus* pag. 648, polnische Weisse Kreide, Minoga.  
 — 2 *Micraster Leskii* pag. 649, Pläner, Oppeln.  
 — 3 *Micraster Leskii* pag. 650, Pläner, Suderode.  
 — 4 desgleichen pag. 650, Pläner, Oppeln, *A* Apex.  
 — 5 *Micr. Leskii quadratulus* pag. 650, Pläner, Suderode, *A* Apex.  
 — 6 *Micraster* cf. *Borchardi* pag. 651, Pläner, Suderode.  
 — 7 *Micraster Borchardi* pag. 651, Weisse Kreide, Staffin, *A* Apex.  
 — 8 *Spatangus lacunosus* pag. 652, Pläner, Quedlinburg, *m* Mund.  
 — 9 *Spatangus Bucardium* pag. 652, Kieselkern, Kreide, Aachen, *m* Mund.  
 — 10 *Micraster* cf. *sublacunosus* pag. 653, Plänersandstein, Schönhengst: *a* hinten, *o* oben.  
 — 11 desgleichen pag. 653, daher, deprimirt.  
 — 12 desgleichen pag. 653, daher, Apex mit Löchern.  
 — 13 desgleichen pag. 653, daher, Abdruck, *x* vergrößerte Wärzchen, *y* vergrößerter vorderer Fühlergang.  
 — 14 *Spatangus acutus* pag. 654, Chloritische Kreide, Normandie, *A* Apex.  
 — 15 *Spatangus* cf. *acutus* pag. 654, Neocom, Escragnoles.  
 — 16 *Spatangus polygonus* pag. 654, unterer Gault, Perte du Rhône.  
 — 17 *Spatangus* cf. *coranginum* pag. 655, Chloritische Kreide, Provence.  
 — 18 *Micraster brevis* pag. 655, Kreidetuff, Corbières.  
 — 19 *Hemiaster Bufo* pag. 656, Chloritische Kreide, Cap la Hève.  
 — 20 desgleichen pag. 657, Mund zweifach vergrößert, daher.  
 — 21 desgleichen pag. 656, daher, junges Exemplar.  
 — 22 desgleichen pag. 656, daher, Asseln, *m* vergrößerter Mund.  
 — 23 desgleichen pag. 657, Chloritische Kreide, Pyn.  
 — 24 *Spatangus minimus* pag. 659, Gault, Perte du Rhône.  
 — 25 desgleichen pag. 659, daher, von hinten.  
 — 26 desgleichen pag. 658, daher, *x* vergrößerte Schalenzeichnung.  
 — 27 *Hemiaster Phrynus* pag. 658, Gault, Perte du Rhône.  
 — 28 *Spatangus minimus* pag. 658, daher, Unterseite.  
 — 29 *Spatangus prunella* pag. 659, oberster Kreidesand, Maastricht.  
 — 30 desgleichen pag. 659, daher, *m* vorderer Mundrand von innen.  
 — 31 *Hemiaster verticalis* pag. 660, Eocen, Priabona.  
 — 32 *Spatangus Hehlii* pag. 661, blaufarbig, *x* vergrößerter Apex.  
 — 33 *Spatangus* pag. 661, vom Mokattam, alttertiär.  
 — 34 *Sp. oblongus Italicus* pag. 661, Nummulithenkalk, Montecchio maggiore.  
 — 35 *Sp. oblongus Germanicus* pag. 661, Nummulithenkalk, Salzburg.  
 — 36 *Periaster Fourneli* pag. 662, Hippuritenkreide, Batna, *x* vergrößerter Apex.  
 — 37 *Micraster Chaumontianus* pag. 664, Nummulithenkalk, Kresseberg, *x* vergrößerter Apex, *a* After.  
 — 38 *Micraster brevis* pag. 664, daher, *a* After, *m* Mund.  
 — 39 *Spatangus suborbicularis* pag. 663, Nummulithenkalk, Brendola, *m* Mund, *a* After.  
 — 40 *Periaster Salisburgensis* pag. 667, Eocen, Salzburg, cf. *Prenaster alpinus* fig 41.  
 — 41 *Prenaster alpinus* pag. 669, Nummulithenkalk, Copie.  
 — 42 *Brissus columbaris* pag. 667, lebend, Antillen, Mundstück.  
 — 43 desgleichen pag. 667, daher, kleines Exemplar, *x* vergrößerter Apex, *i* von innen, *f* subanale Fasciole.

## Erklärung tab. 89.

- Fig. 1 Schizaster fasciolatus pag. 670, Aachen?, Kreide.  
— 2 Schizaster cf. Studeri pag. 671, Nummulithenkalk, Verona, Seitenansicht.  
— 3 desgleichen pag. 671, daher, Apex, *x* vergrößert.  
— 4 desgleichen pag. 672, Eocen, Oberweis, *m* Mund.  
— 5 desgleichen pag. 672, Nummulithenkalk, Montecchio maggiore. Mundseite.  
— 6 Schizaster eurynotus pag. 672, Tertiär, Santa Manza.  
— 7 Schizaster fragilis pag. 673, lebt an der Norwegischen Küste.  
— 8 Schizaster atropos pag. 673, lebt bei Texas: *a* After, *m* Mund.  
— 9 desgleichen pag. 673, daher, die drei vordern Fühlgänge von innen.  
— 10 Linthia insignis pag. 678, Eocen, Sonthofen, *a* After.  
— 11 Amphidetus cordatus pag. 674, lebt in der Nordsee: *A* vergrößerter Apex, *a* After.  
— 12 Amphidetus ovatus pag. 676, lebt bei Norwegen.  
— 13 Pemipatagus Forbesi pag. 676, Australien.  
— 14 desgleichen pag. 677, daher, vergrößerter Gipfel.  
— 15 Spatangus (Bryonia) Crux-Andrae pag. 677, lebt im Südmeer, Copie.  
— 16 Lovenia hystrix pag. 677, lebt im Rothen Meere, Copie; *i* innere Blasen.  
— 17 Enpatagus Scillae pag. 681, Tertiär, Oberitalien, *x* vergrößerter Apex.  
— 18 desgleichen pag. 681, Tertiär, *x* vergrößerte Warze.  
— 19 Maretia eocena pag. 682, Eocen, Oberweis.  
— 20 Spatangus purpureus pag. 684, lebt in der Nordsee: *i* Apex innen, *a* aussen.  
— 21 Macropneustes cf. Meneghini pag. 680, Nummulithenkalk, Kressenberg, After.  
— 22 Macropneustes Meneghini pag. 679, Oligocen. Monte Spiado.  
— 23 Spatangus Desmarestii pag. 682, jungtertiär, Doberg, *A* vergrößerter Apex.  
— 24 desgleichen pag. 683, daher, jung.  
— 25 Spatangus Hoffmanni pag. 683, daher.  
— 26 Gualteria Orbignyana pag. 668, Nummulithenkalk, Royan, Copie.  
— 27 Peronella Peronii pag. 697, Copie.  
— 28 Nucleolites recens pag. 696, Copie nach L. Agassiz.  
— 29 Agassizia scrobiculata pag. 668, lebt bei La Paz.











ERNST MAYR LIBRARY



3 2044 110 323 292

